



普通高中教科书

地理图册

D I L I T U C E

必修 第二册

(配湘教版)



星球地图出版社
STAR MAP PRESS

主 编 朱 翔 周瑞祥
 责任编辑 陈 思 胡茂永
 编 辑 吴茜薇 连 玉
 美术编辑 李梦昕
 审 校 陈 騫 张应运 张九零
 审 订 李亚平

通用图例

◎北京 首都、首府	 高速铁路、车站	 常年河
◎太原 中国省级行政中心	 铁路、车站	 时令河
○青岛 主要城市	 在建铁路、车站	 湖泊
 洲界	 高速公路	 水库
 国界	 在建高速公路	 运河
 (世界全图) 未定国界	 国道	 陆缘冰
 (世界全图) 地区界	 航海线	 沼泽
 军事分界线、停火线	 航空港	 沙漠
 中国省级界	 港口	 长城
 中国特别行政区界	 海岸线	 山峰、高程/米

普通高中教科书

地理图册

必修 第二册

星球地图出版社 编制

星球地图出版社 出版

网址：<http://www.emapedu.com>

新华书店发行

中国人民解放军第一二〇六工厂印刷

开本：890毫米×1240毫米 1/16 印张：3.25

2019年6月第2版 2021年12月第6次印刷

ISBN 978-7-5471-2610-3

审图号：JS(2020)01-097号 定价：4.85元

著作权所有·侵权必究

本书部分图片来源于网络视觉中国

社址：北京市北三环中路69号 邮编：100088 电话：010-62011565

序 图	2
世界的国家和地区	2
中国行政区划	4
第一章 人口与地理环境	6
第一节 人口分布	6
第二节 人口迁移	9
第三节 人口容量	12
第二章 城镇和乡村	14
第一节 城乡空间结构	14
第二节 地域文化与城乡景观	18
第三节 城镇化进程及其影响	20
第三章 产业区位选择	24
第一节 农业区位因素与农业布局	24
第二节 工业区位因素与工业布局	28
第三节 服务业的区位选择	31
第四章 区域发展战略	33
第一节 交通运输与区域发展	33
第二节 我国区域发展战略	37
第三节 海洋权益与我国海洋发展战略	41
第五章 人地关系与可持续发展	46
第一节 人类面临的主要环境问题	46
第二节 协调人地关系, 实现可持续发展	48



1 : 90 000 000



- 27 克罗地亚
- 28 波斯尼亚和黑塞哥维那
- 29 塞尔维亚

- 30 北马其顿
- 31 阿尔巴尼亚
- 32 圣马力诺

- 33 梵蒂冈
- 34 摩纳哥
- 35 安道尔

- 36 俄罗斯
- 37 拉脱维亚
- 38 爱沙尼亚

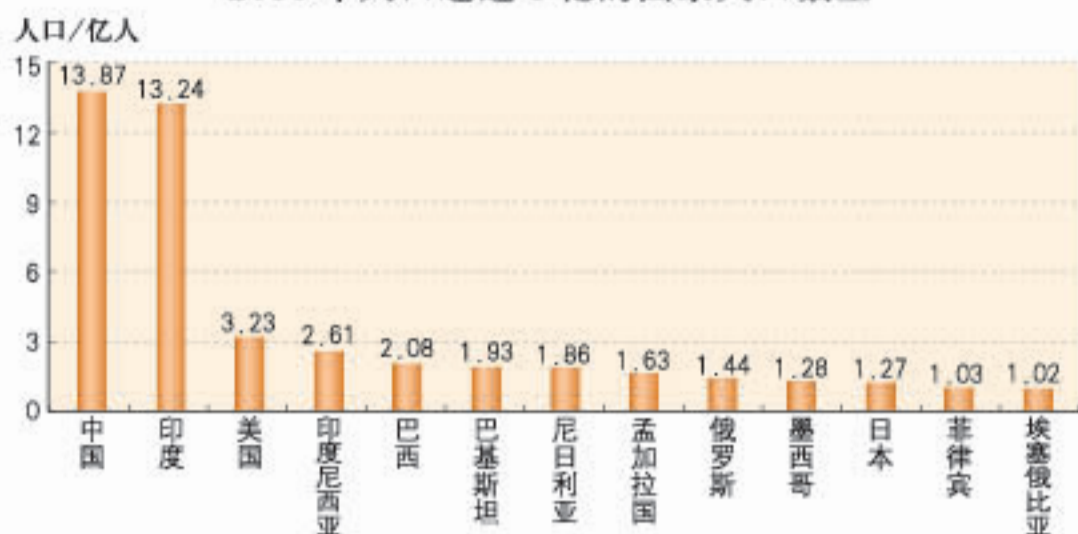
- 非洲**
- 39 布基纳法索
 - 40 贝宁
 - 41 多哥
- 南、北美洲**
- 42 多米尼加
 - 43 波多黎各(美)
 - 44 安圭拉(英)
 - 45 马提尼克(法)
 - 46 圣文森特和格林纳丁斯
 - 47 库拉索(荷)



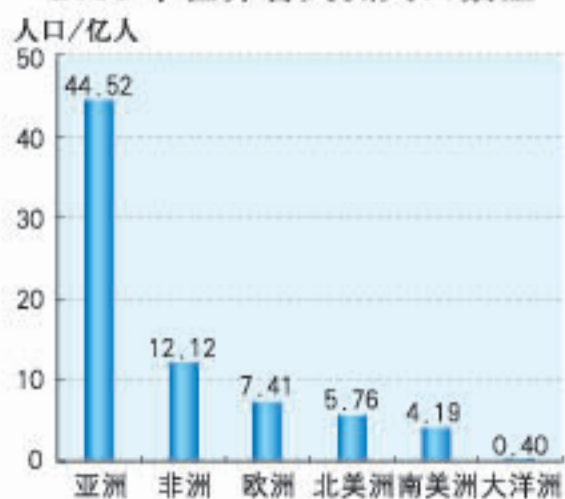


世界人口分布

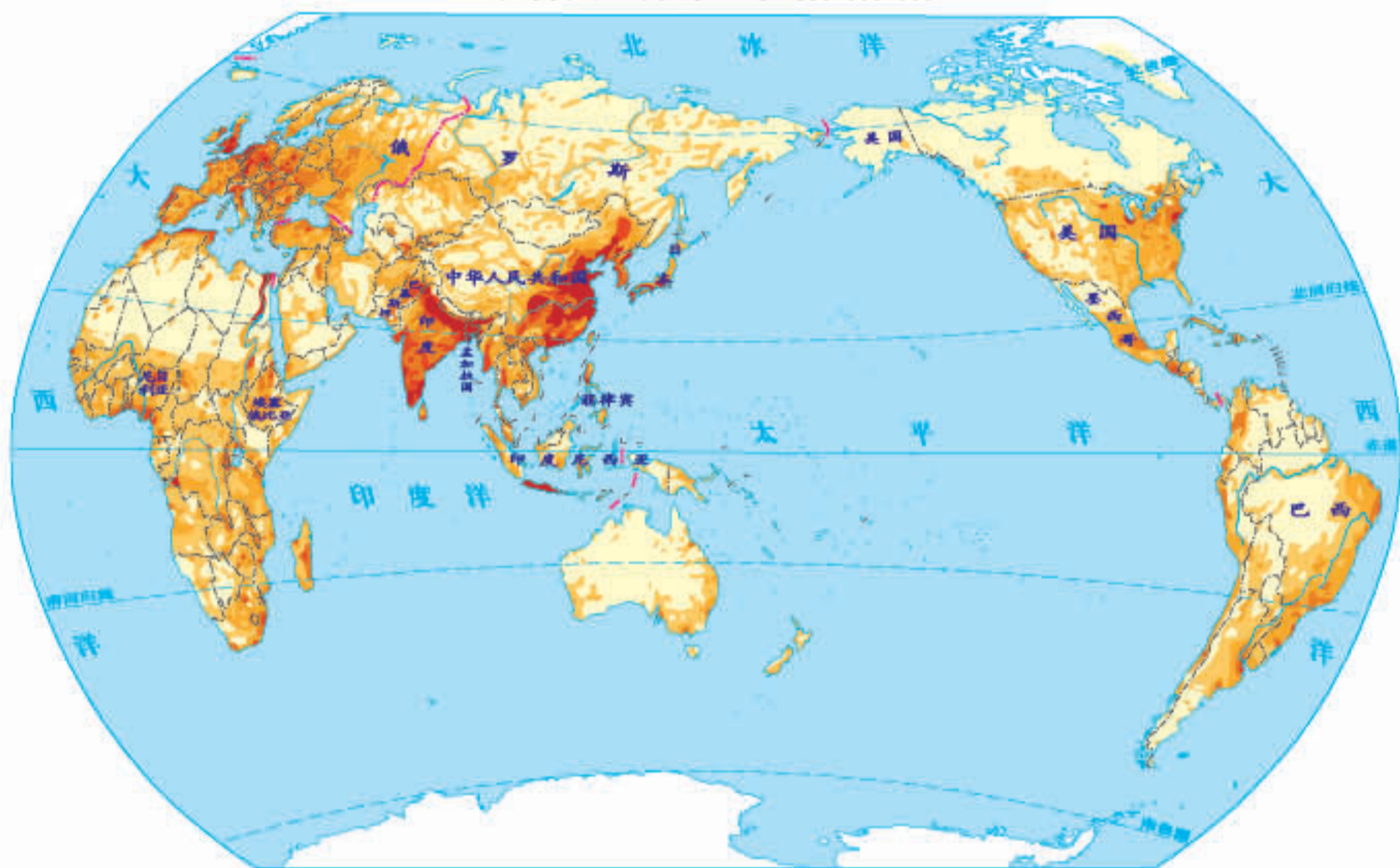
2016年人口超过1亿的国家人口数量



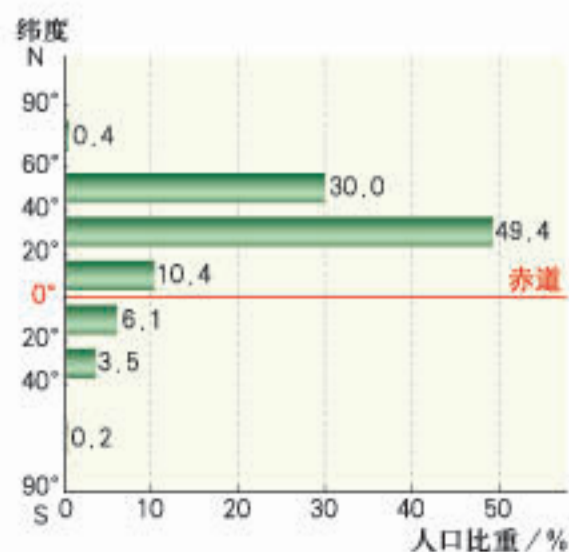
2016年世界各大洲人口数量



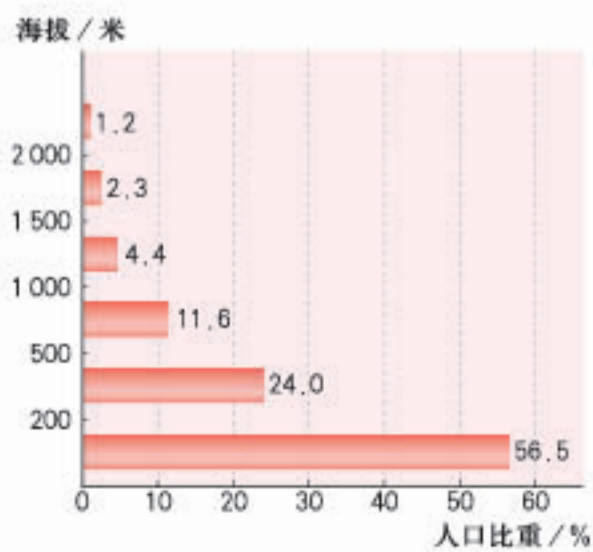
世界人口分布 1:180 000 000



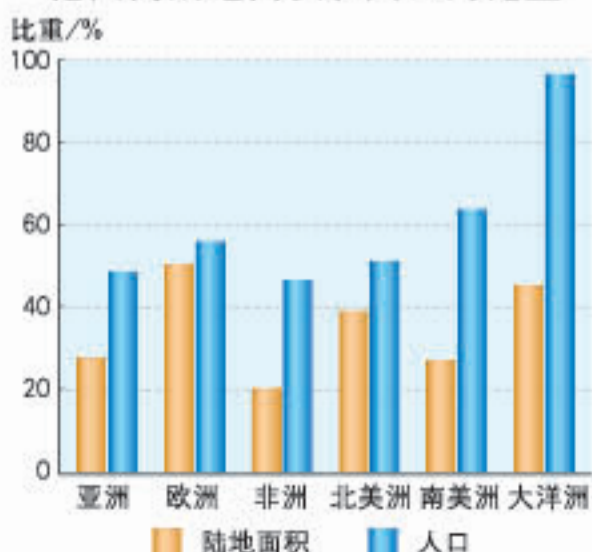
世界不同纬度人口分布



世界不同海拔人口分布

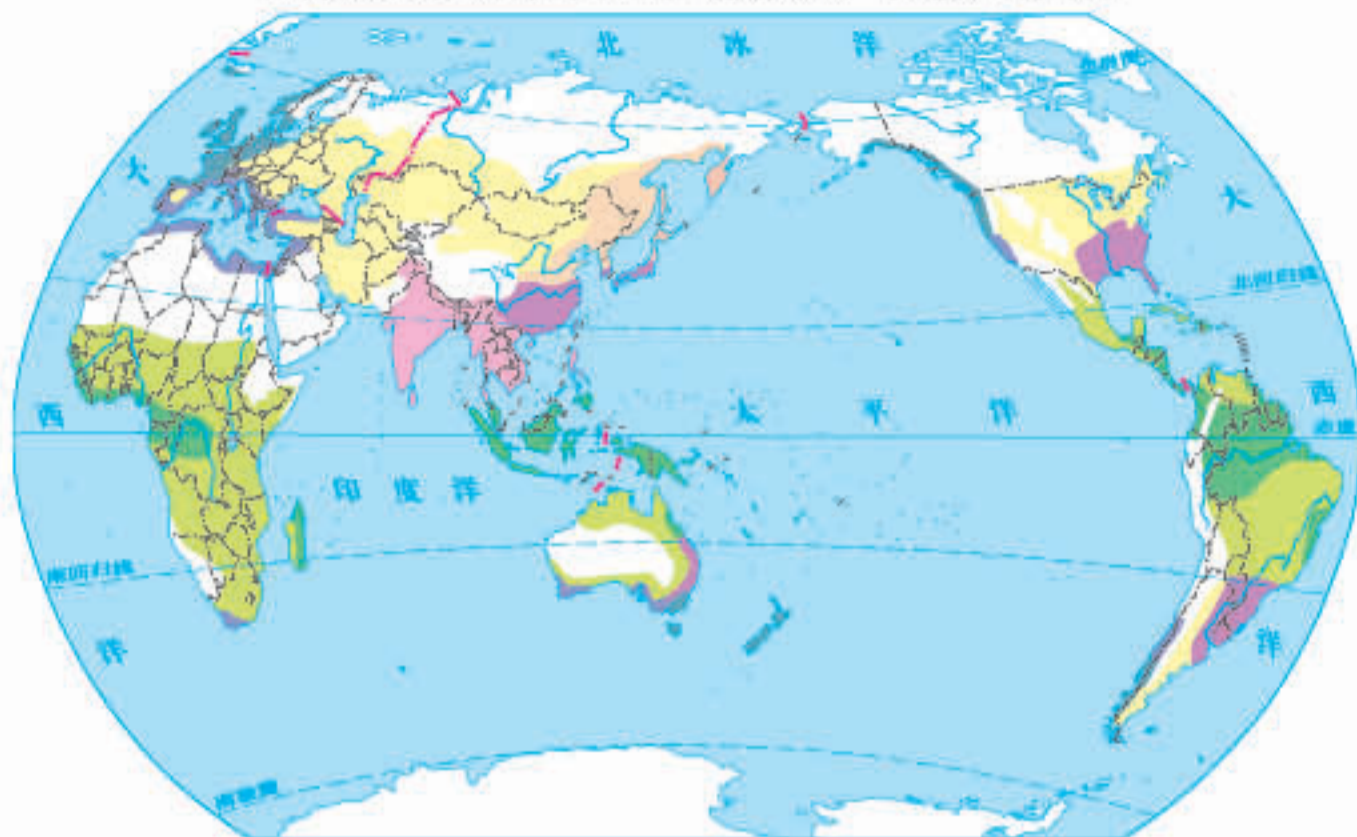


世界各大洲距海岸线200千米范围内陆地面积和人口的比重



影响人口分布的因素

世界人口相对集中区的气候类型 1:240 000 000



世界人口主要分布在温带和亚热带的湿润、半湿润地区。

- 热带雨林气候
- 热带草原气候
- 热带季风气候
- 亚热带季风和季风性湿润气候
- 地中海气候
- 温带海洋性气候
- 温带季风气候
- 温带大陆性气候
- 其他气候

世界海拔低于500米的地区分布 1:240 000 000



世界海拔500米以下的地区面积占地球陆地面积的57%，集中了世界80%以上的人口。

- 海拔低于500米的地区

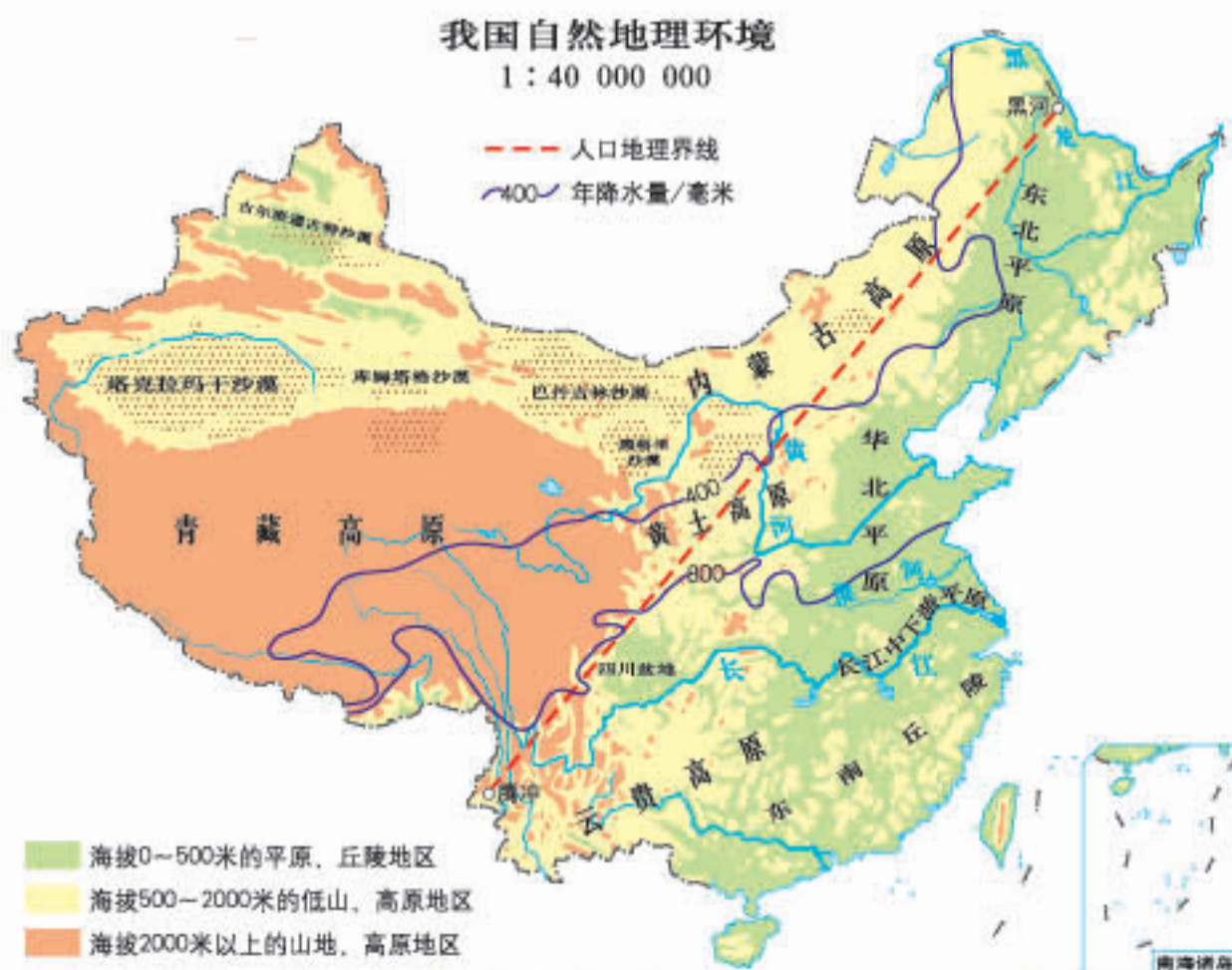
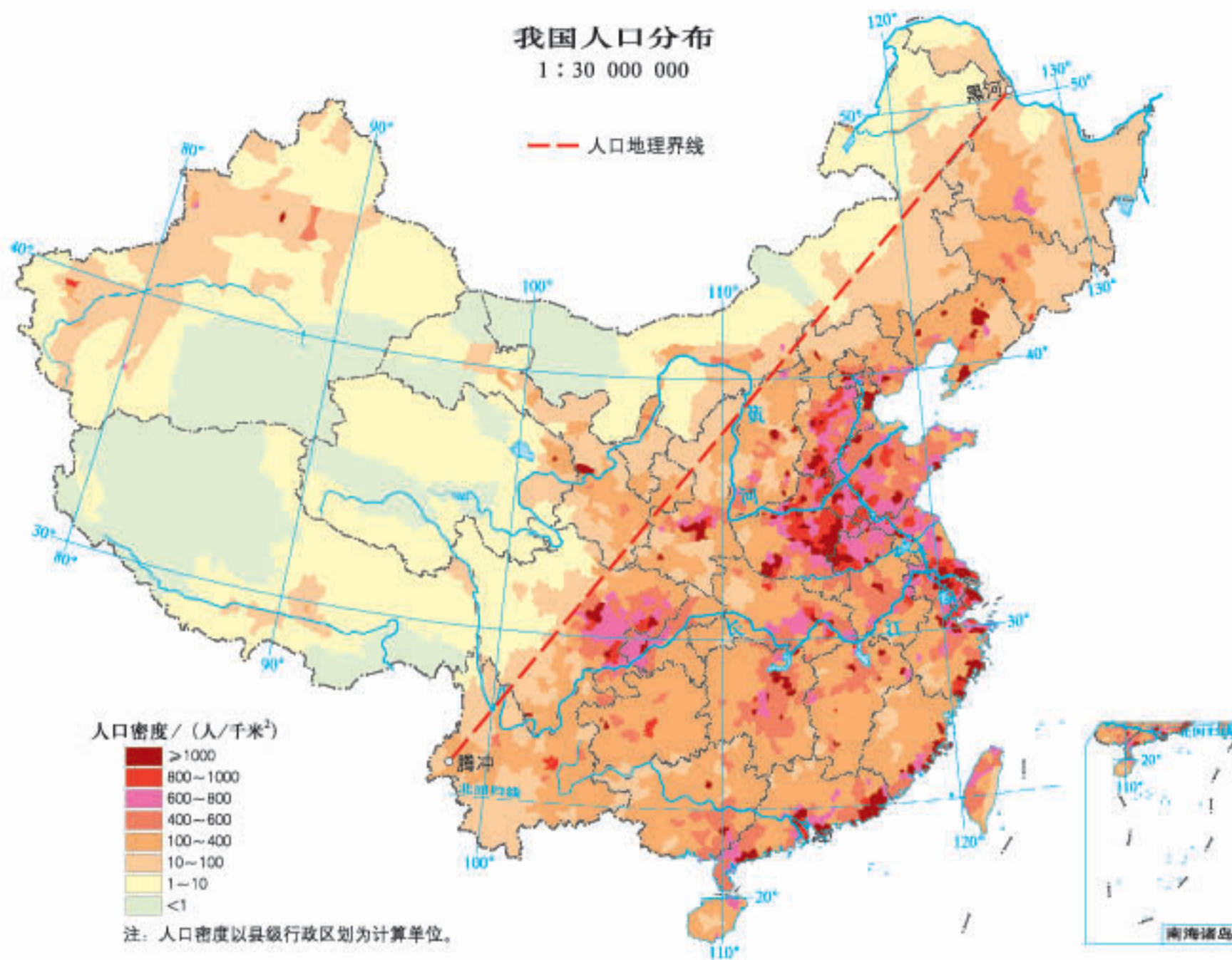


尼罗河下游卫星影像 (2016年)

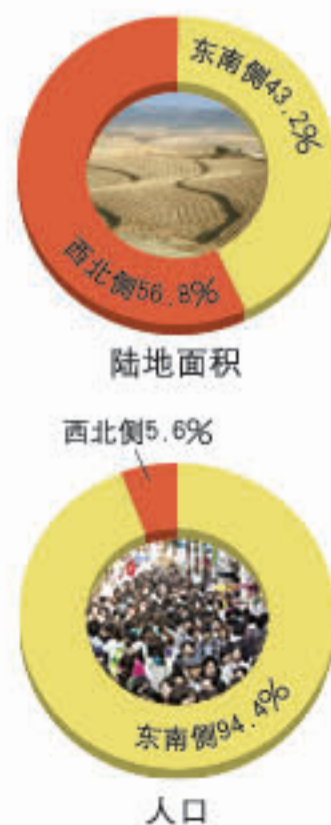


尼罗河下游夜间灯光图 (2016年)

尼罗河下游地区气候干旱、降水稀少，人口主要分布在尼罗河三角洲和尼罗河沿岸地区。



人口地理界线两侧
陆地面积、人口比较



人口迁移及其影响因素

人口迁移的推拉因素



2011—2016年叙利亚难民迁入欧洲的路线示意

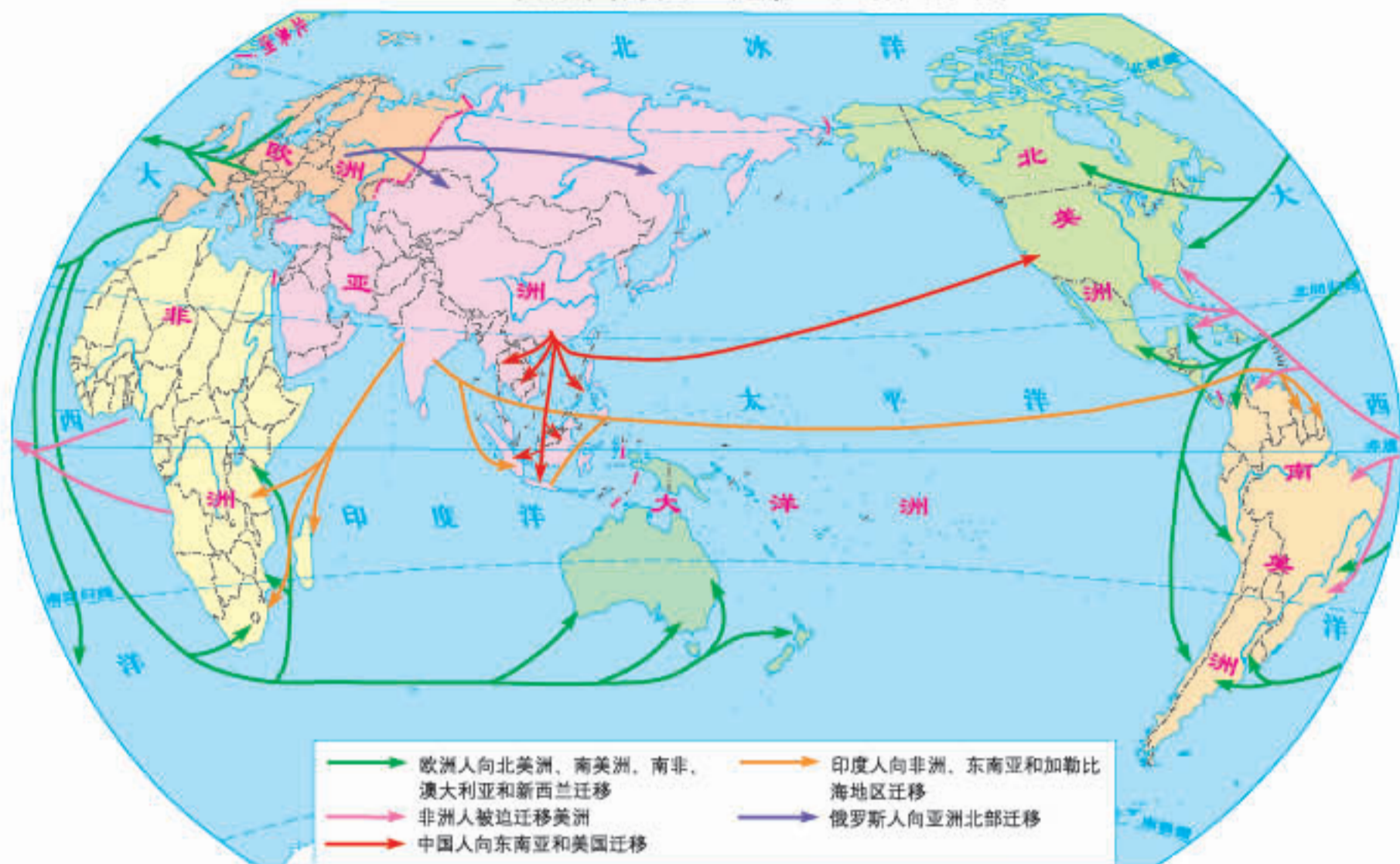


美国本土人口迁移



国际人口迁移

16—20世纪国际人口迁移 1:180 000 000

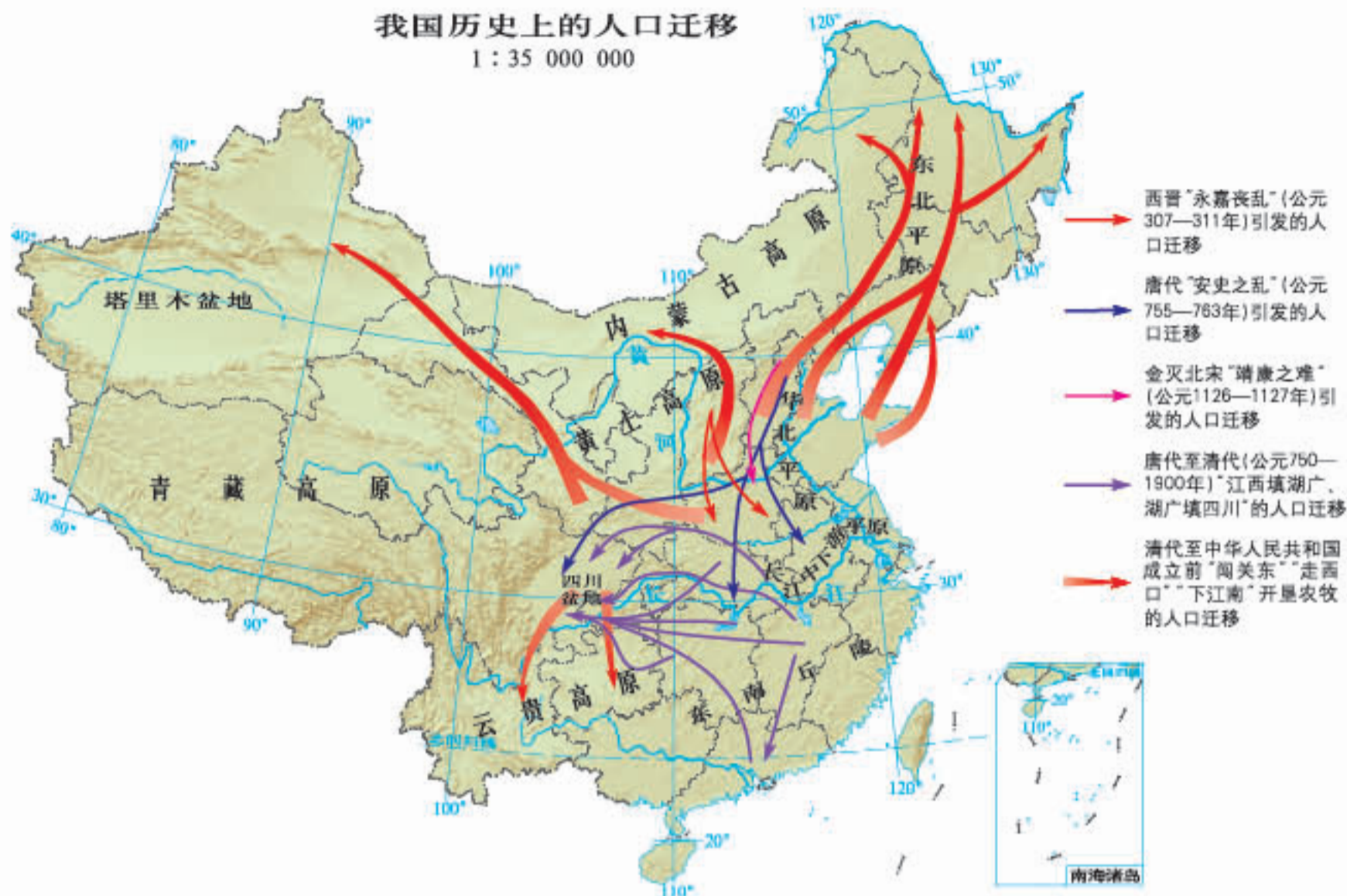


世界主要移民目的地国分布 1:180 000 000

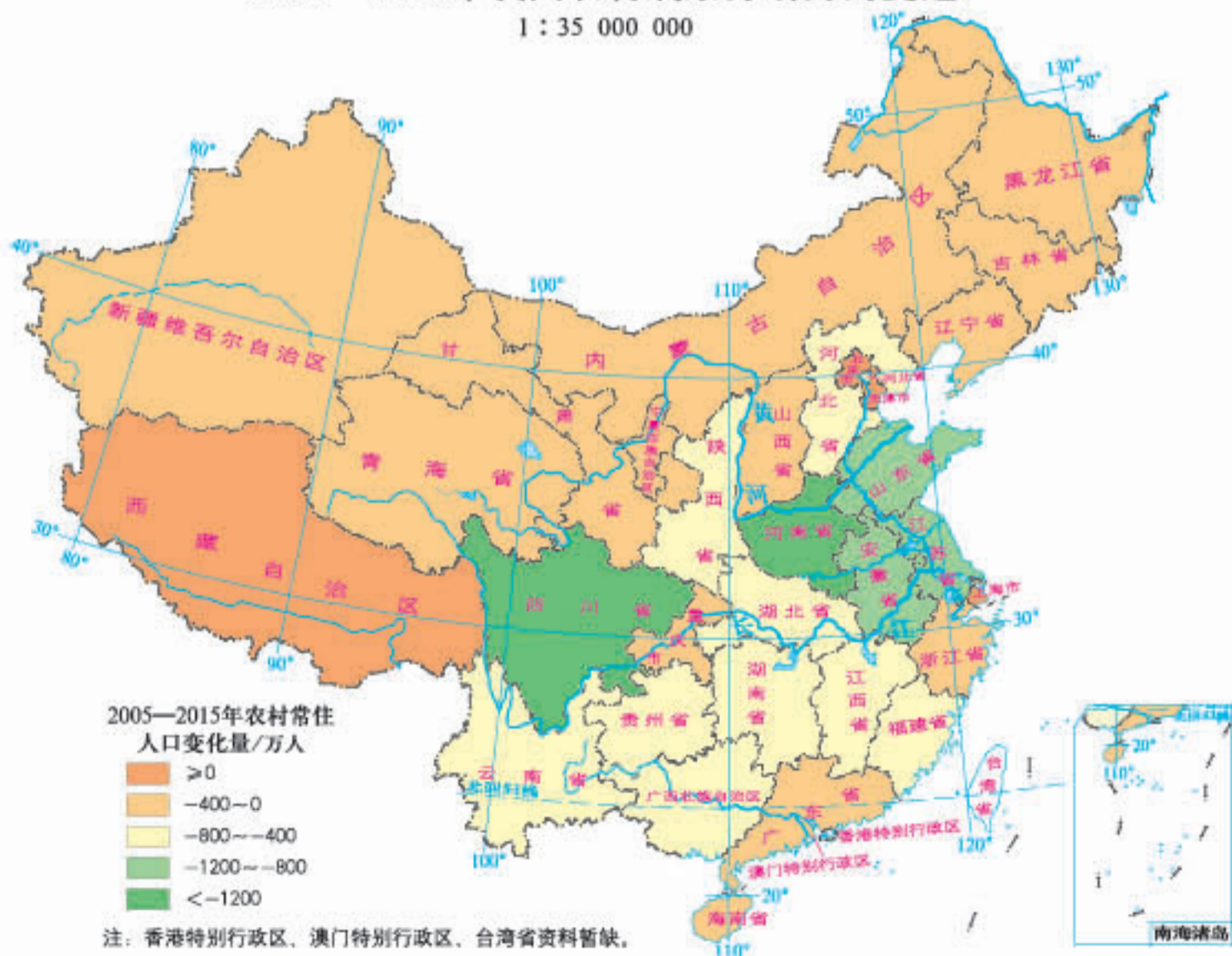


我国人口迁移

我国历史上的人口迁移
1 : 35 000 000



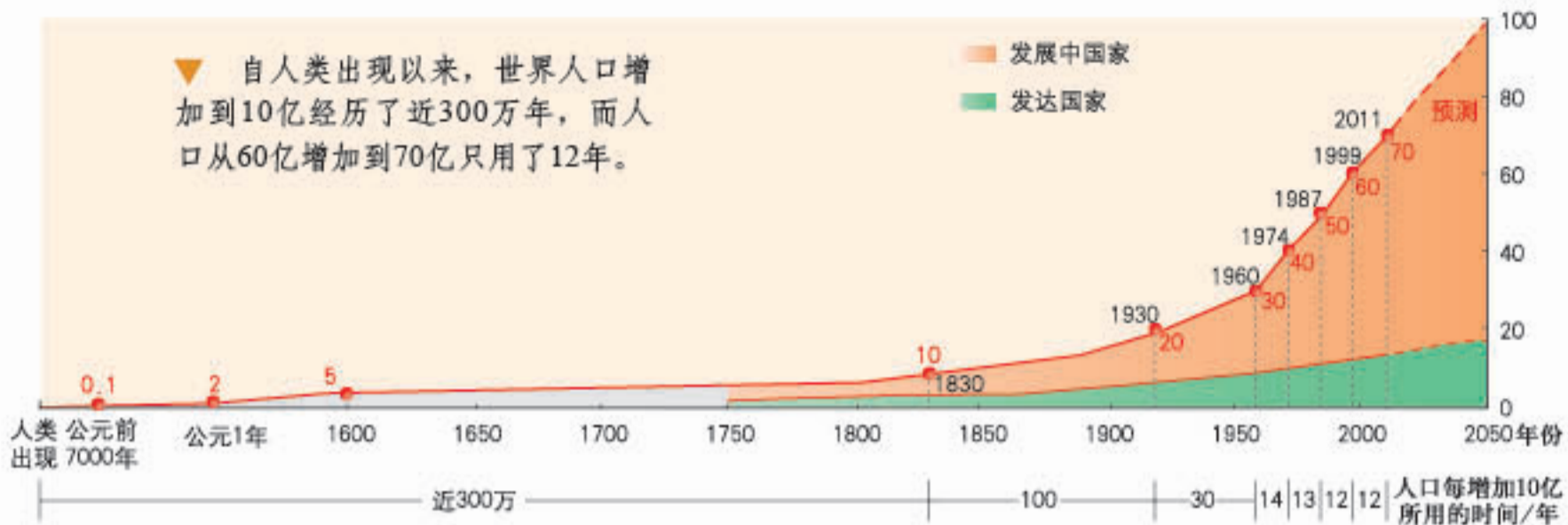
2005—2015年我国农村剩余劳动力的变迁
1 : 35 000 000



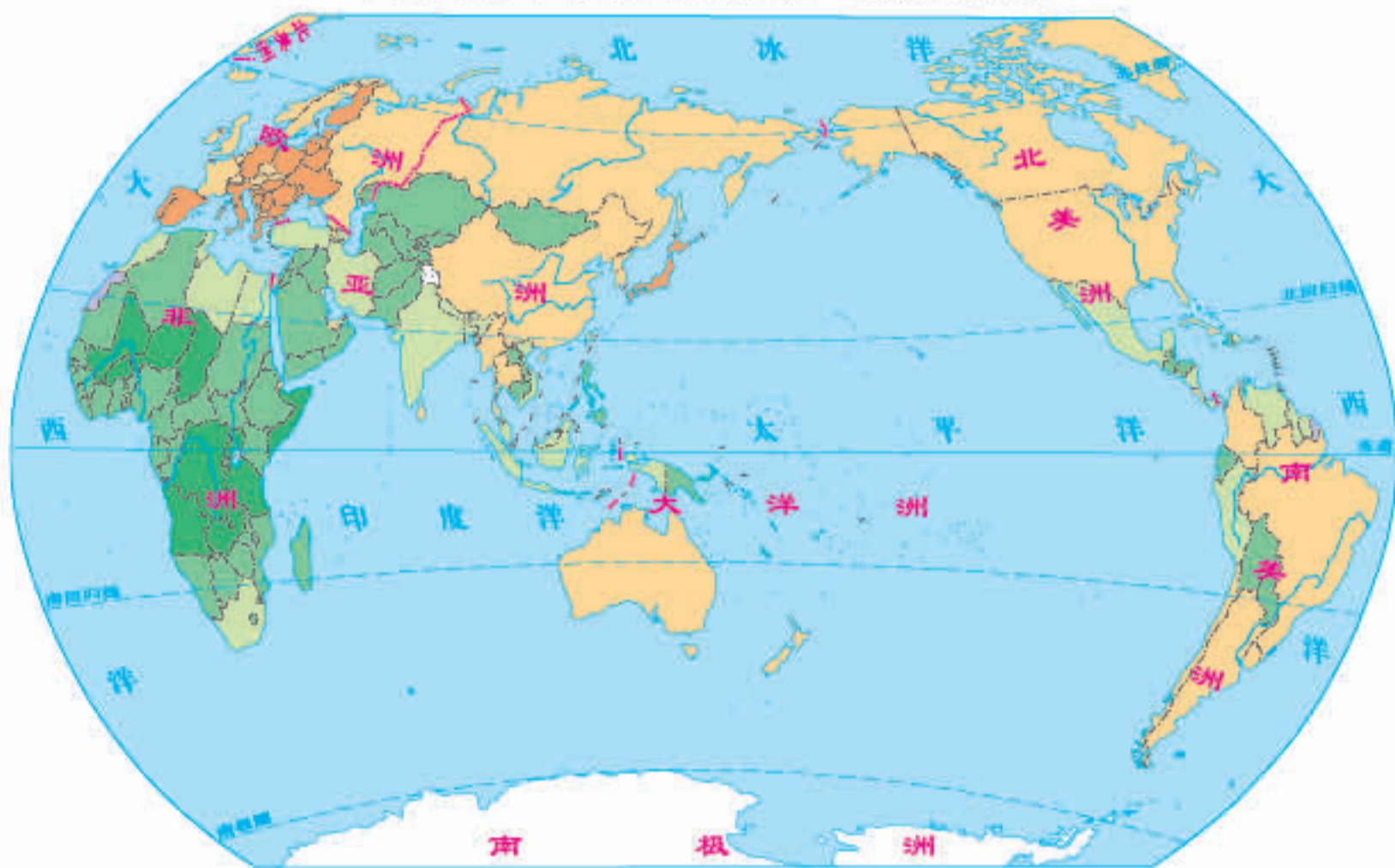
人口增长

世界人口的增长

人口/亿人

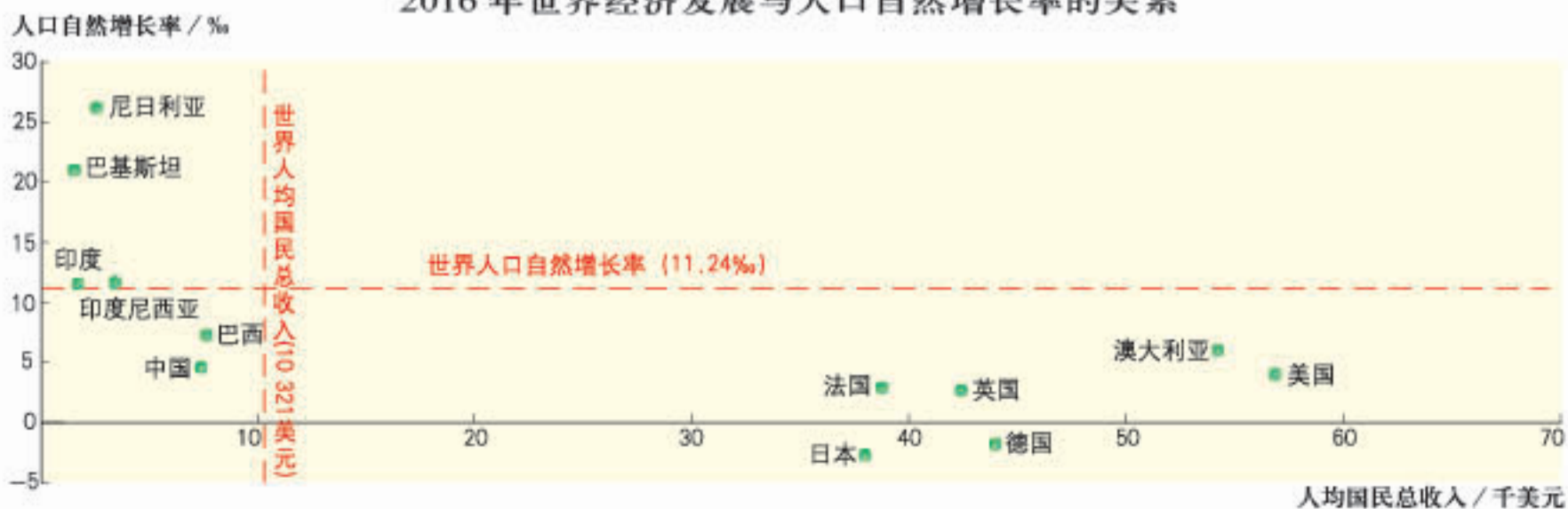


世界人口自然增长率分布 1:200 000 000



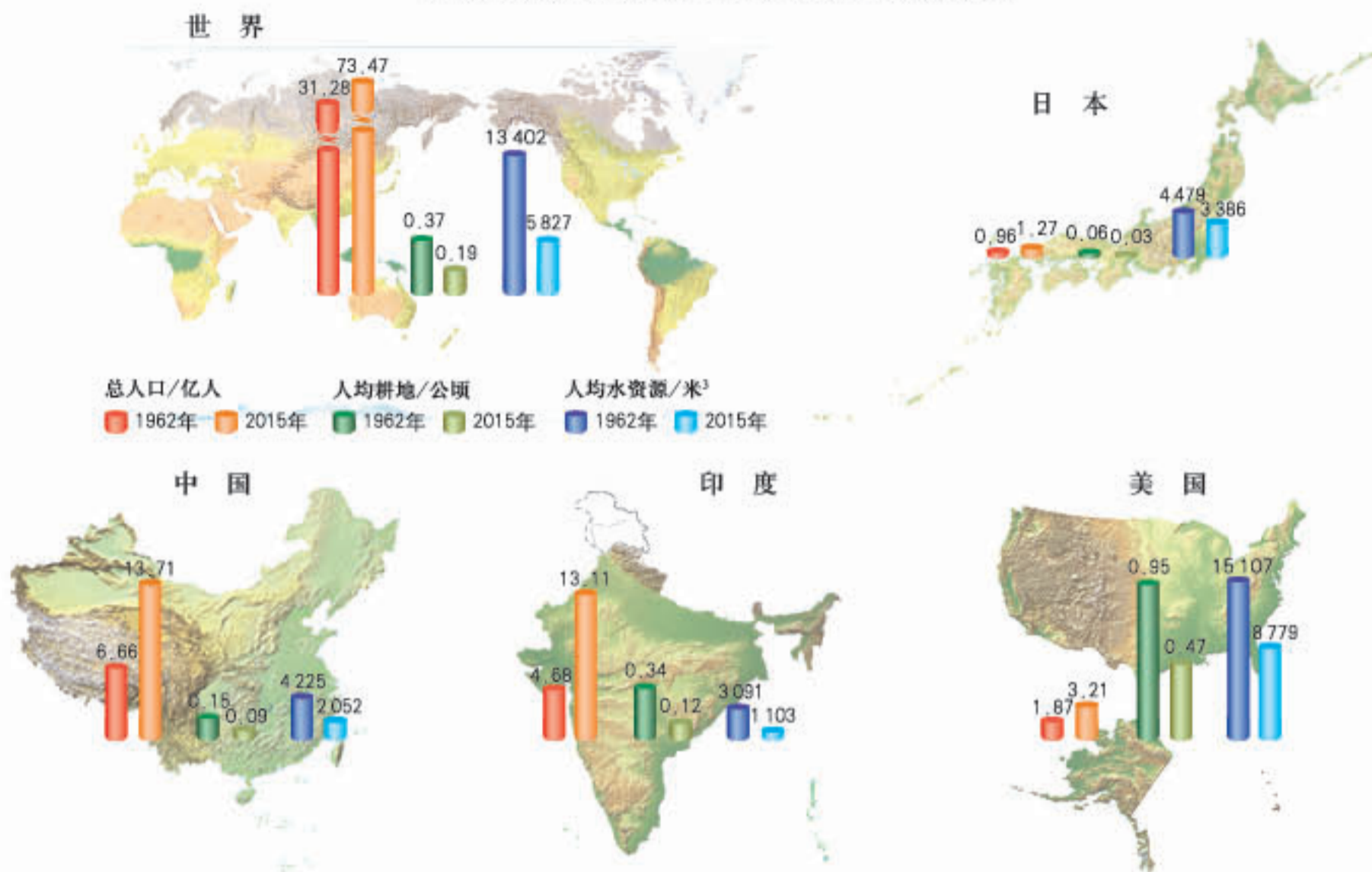
2016年人口自然增长率/% ■ <0 ■ 0~10 ■ 10~15 ■ 15~30 ■ >30 ■ 资料暂缺

2016年世界经济发展与人口自然增长率的关系



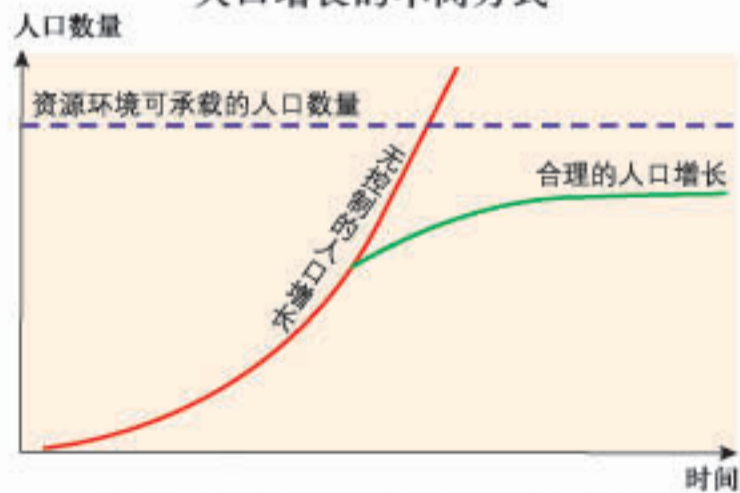
资源环境的限制性

世界及部分国家人口增长与人均资源减少

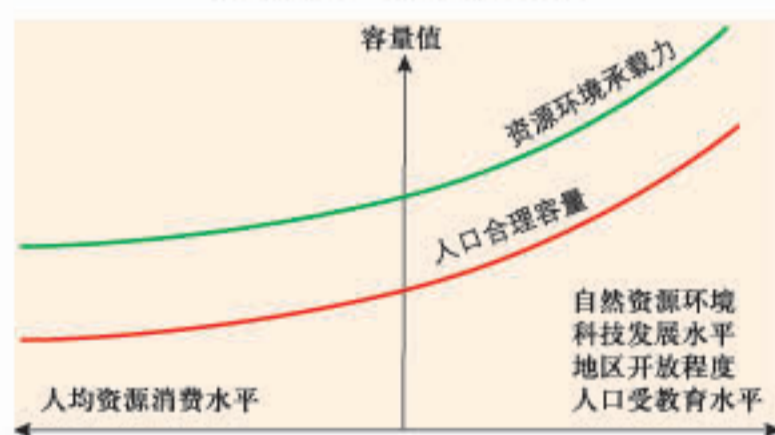


人口合理容量

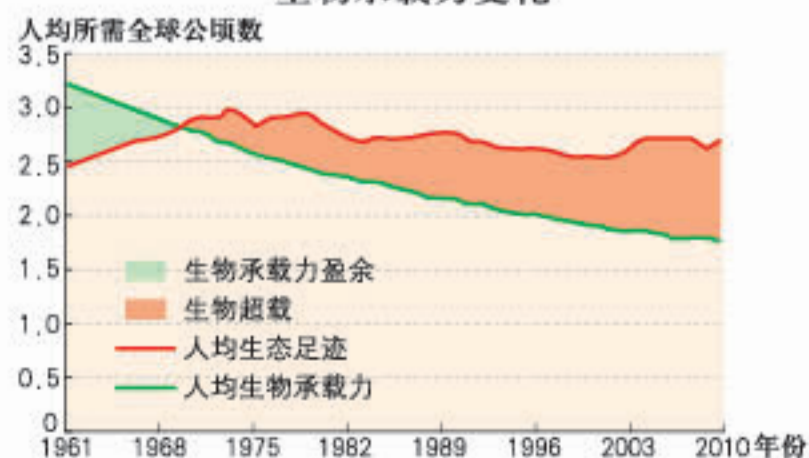
人口增长的不同方式



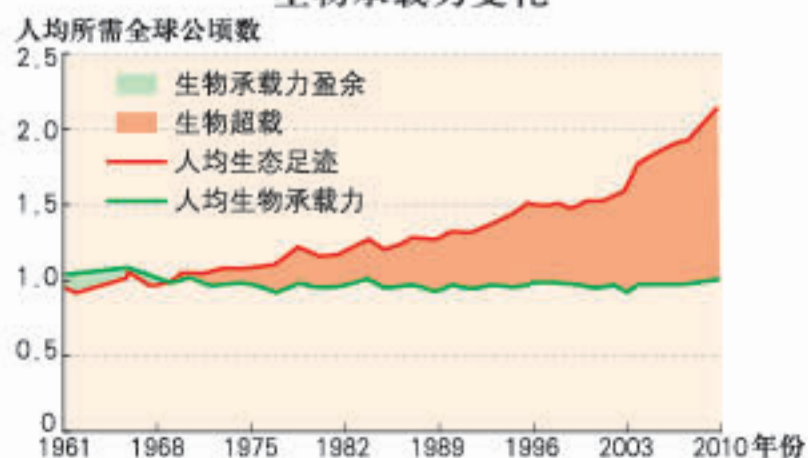
人口容量的影响因素



1961—2010年世界人均生态足迹与生物承载力变化



1961—2010年我国人均生态足迹与生物承载力变化



注：生态足迹是人类为满足其需求而利用的所有生物生产性土地的总和；生物承载力和生态足迹都用全球公顷（gha）单位表示。

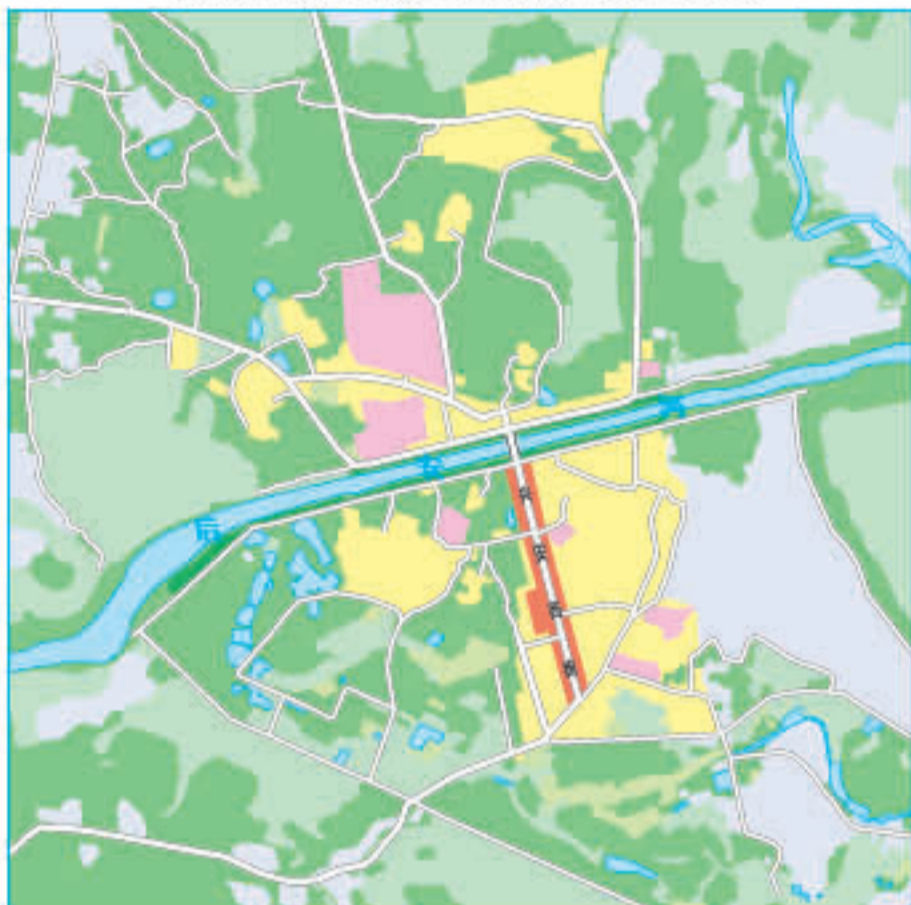
城乡土地利用

浙江省岭底乡土地利用类型分布



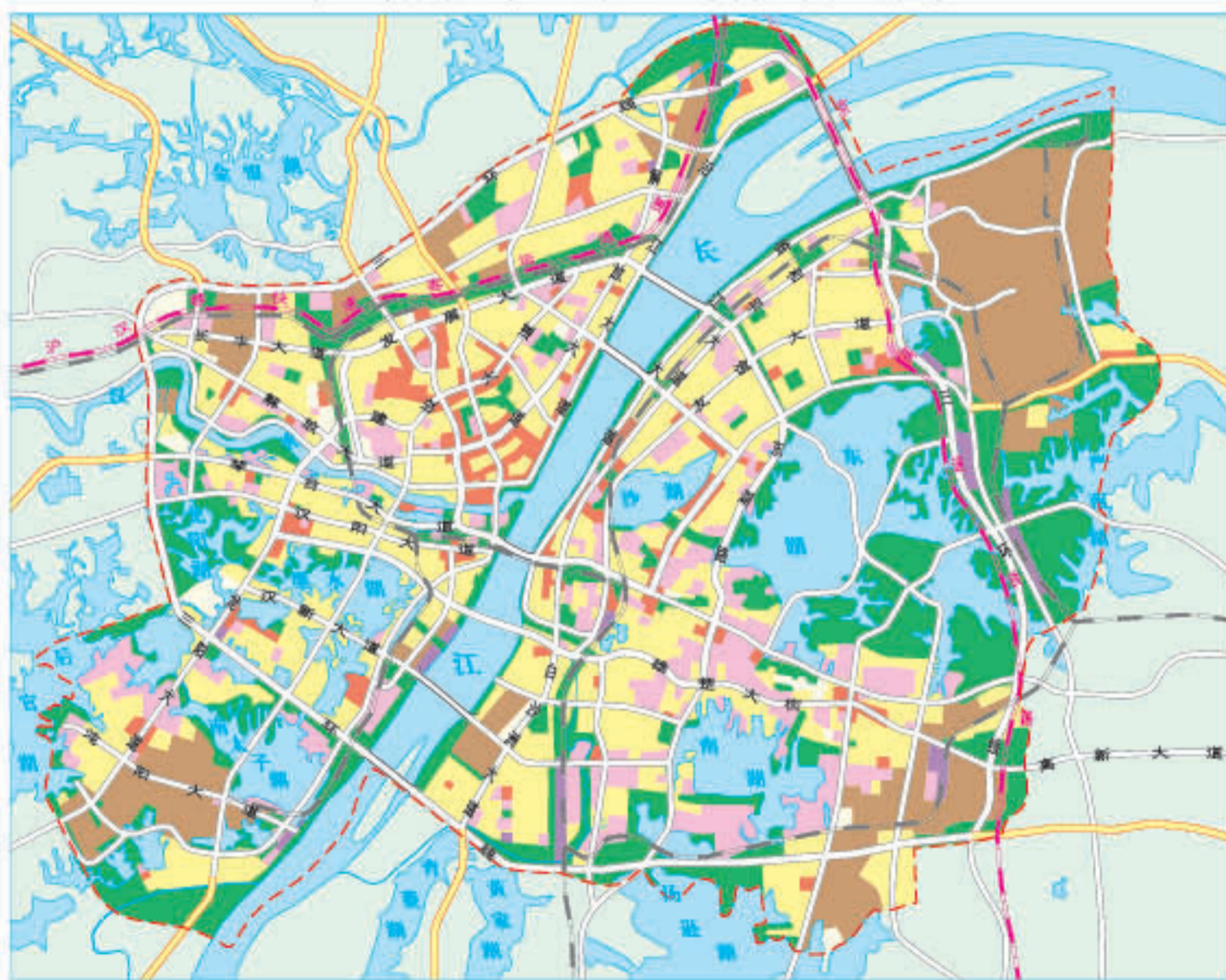
居住用地 耕地 林地 园地 养殖水面

海南省后安镇土地利用类型分布



居住用地 绿化用地 林地 公共管理与公共服务用地
商业用地 耕地 草地 农村居民点建设用地

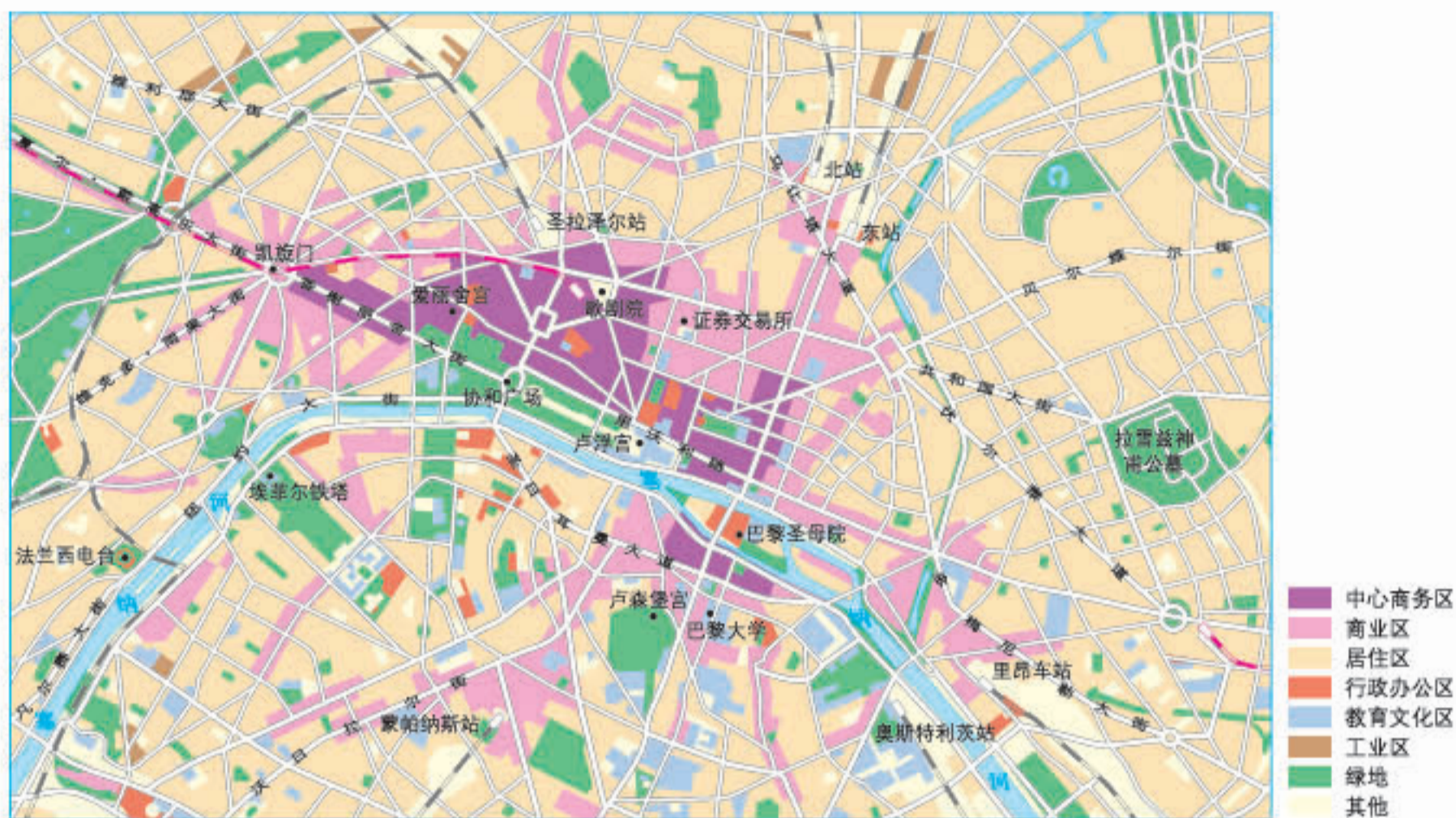
湖北省武汉市主城区土地利用类型分布



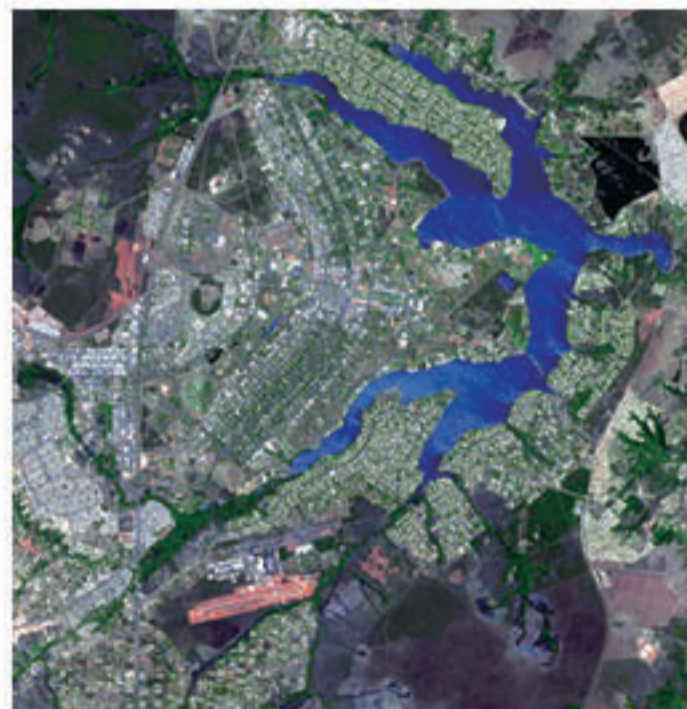
居住用地
商业用地
工矿仓储用地
公共管理与公共服务用地
交通运输用地
绿化用地
其他用地
主城区范围线

城乡空间结构

法国巴黎城市功能分区



巴西巴西利亚城市功能分区



巴西利亚卫星影像 (2016年)

◀ 巴西利亚建成于1960年，是目前唯一被列为世界文化遗产的现代新兴城市。

通过卫星影像看乡村聚落的空间形态



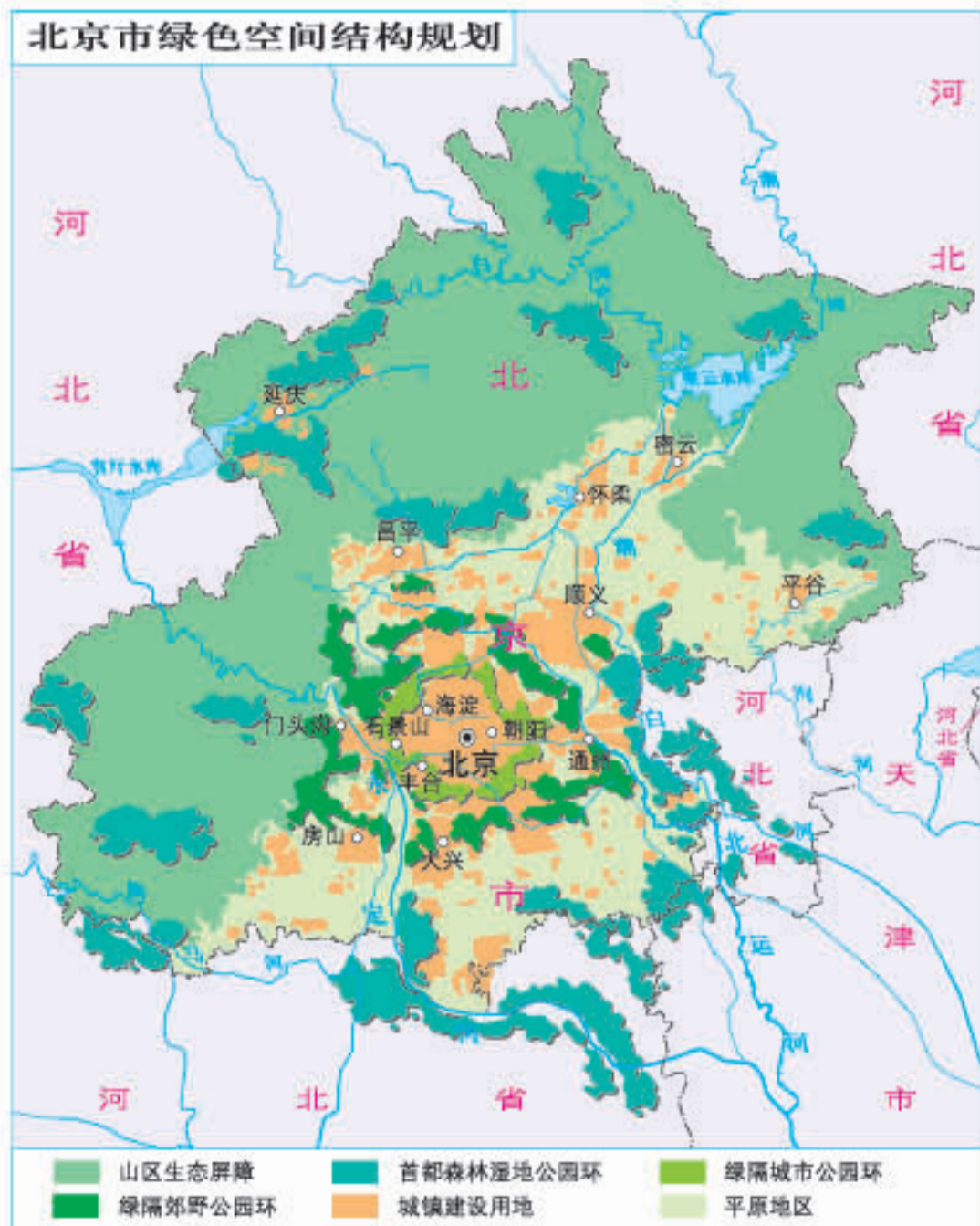
大巴山区分散型乡村聚落



华北平原密集型乡村聚落



云贵高原半聚集型乡村聚落



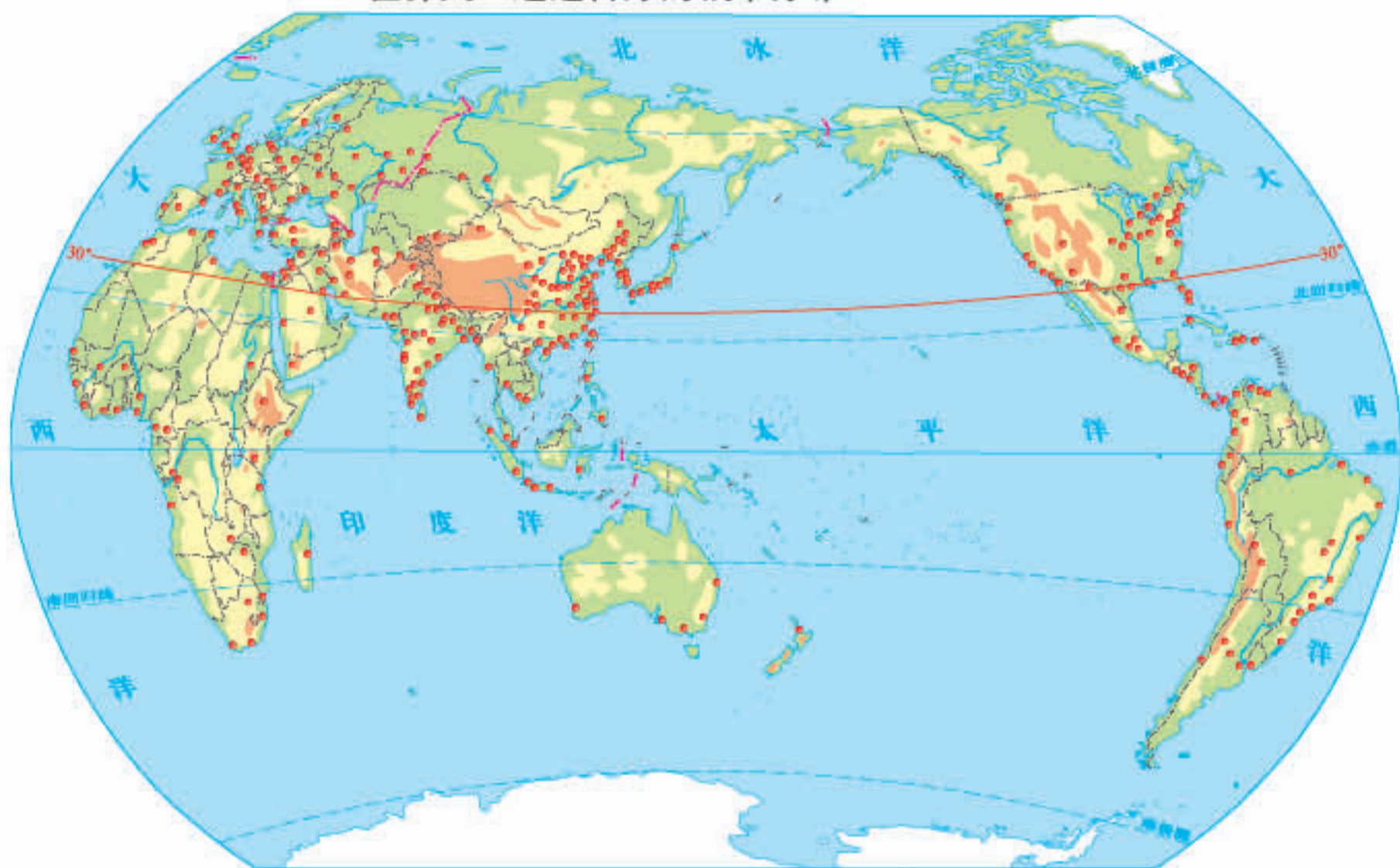
▲ 北京城市副中心规划构建“两带、一环、一心”的绿色空间结构，促进城市和绿色空间融合发展。

◀ 北京绿色空间结构规划旨在依托现有森林、湿地资源，加强山水林田湖保护与修复，构建多类型、多层次绿色空间体系。

注：根据《北京城市总体规划（2016—2035年）》绘制。

城乡区位分析

世界人口超过百万的城市分布 1:180 000 000



人口超过百万的城市(2016年) 陆高/米 0 500 2000



上海市位于长江入海口处。



成都市位于四川盆地西部，成都平原腹地。



重庆市位于长江与嘉陵江交汇处。



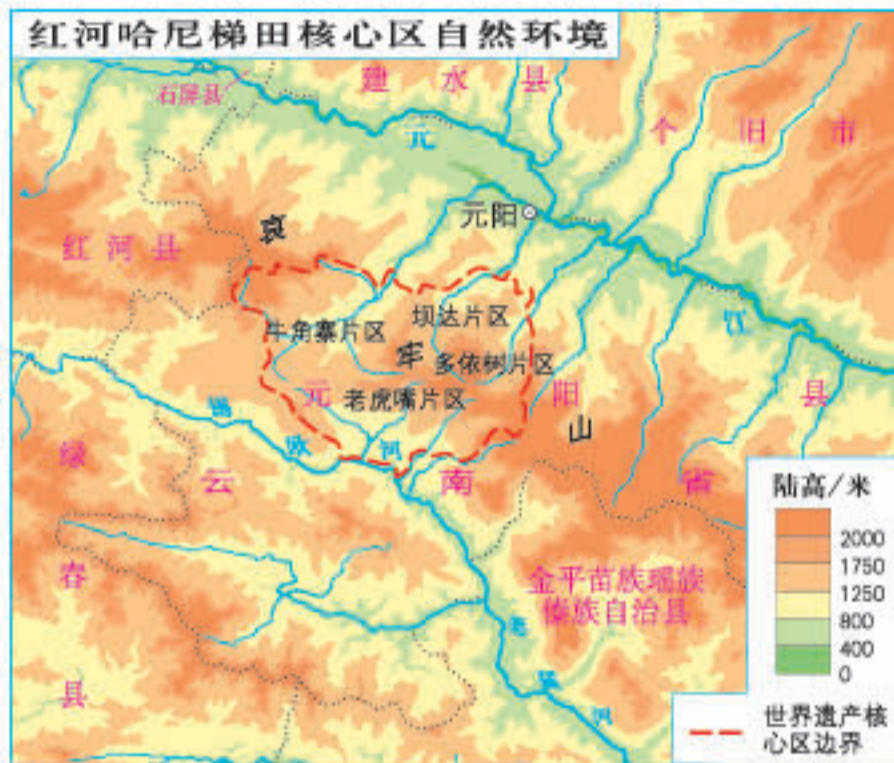
山西省内的古村落具有明显的亲水性。

地域文化和城乡景观的内涵

红河哈尼族彝族自治州位置



红河哈尼梯田核心区自然环境



红河哈尼梯田景观及剖面示意



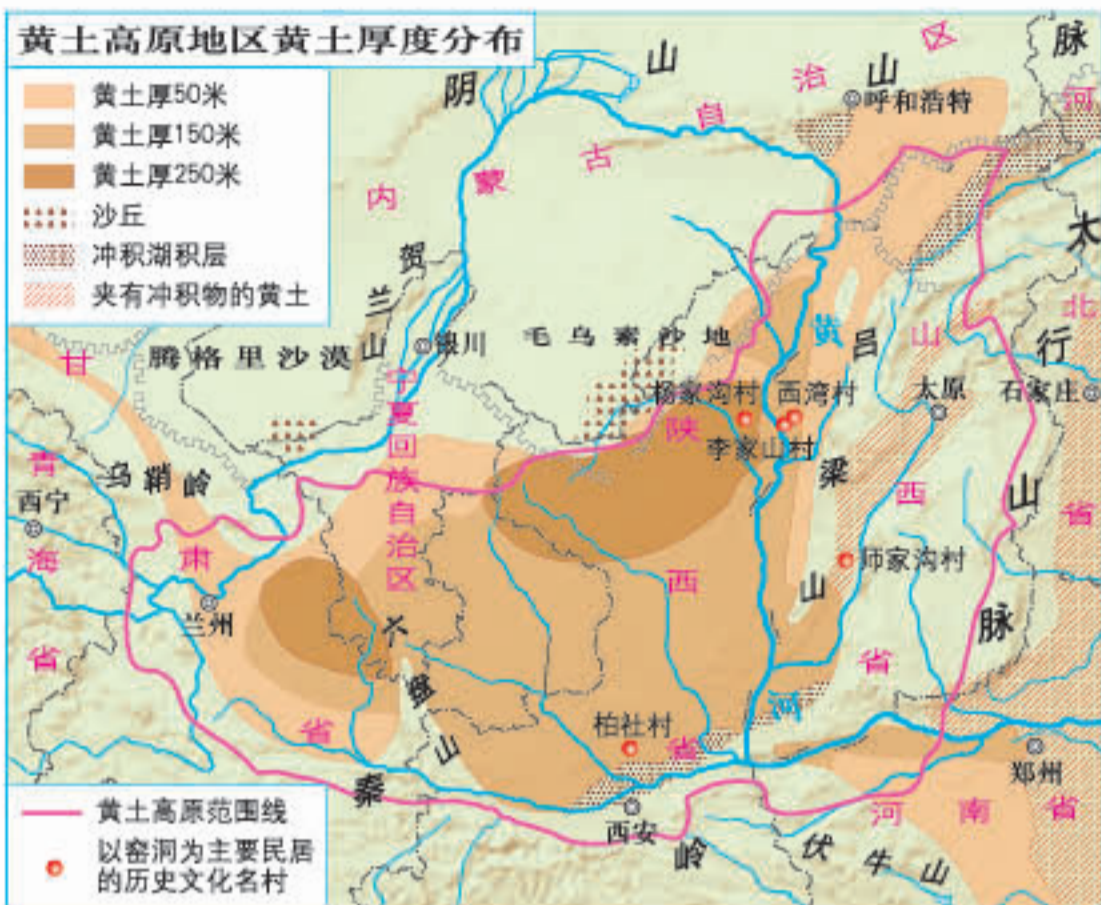
万宁桥



玉河故道

▲ 元代开凿通惠河（从通州至大都城内的积水潭），积水潭成为元代大运河最北端的漕船终点码头，带动了周边地区的繁荣。目前，积水潭（今什刹海）、通惠河故道（今玉河故道）、万宁桥、东不压桥遗址等历史遗迹都是世界文化遗产——中国大运河的重要组成部分。

地域文化在城乡景观上的体现



山西李家山村

▲ 山西李家山村利用山的走势，将民居与山坡巧妙结合，整个村落蕴藏着黄土民情风俗和丰厚的黄河文化。



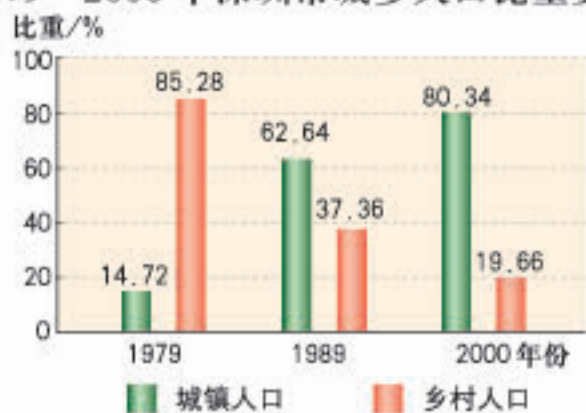
威尼斯大运河



威尼斯里亚尔托桥

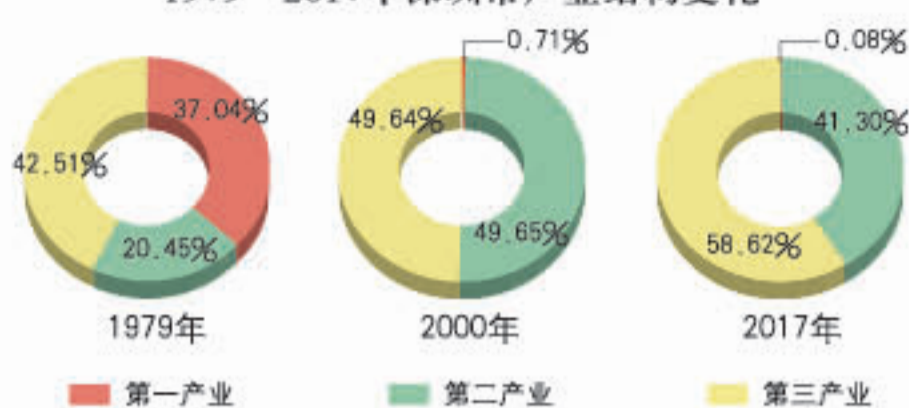
城镇化

1979—2000年深圳市城乡人口比重变化



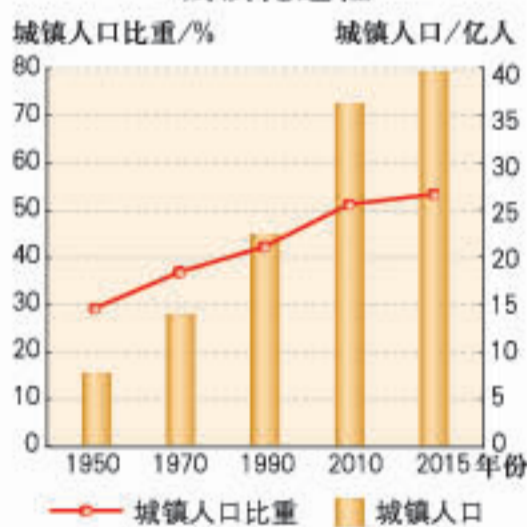
自2004年起，深圳市全面实现乡村城镇化后，已不存在“乡村人口”。

1979—2017年深圳市产业结构变化

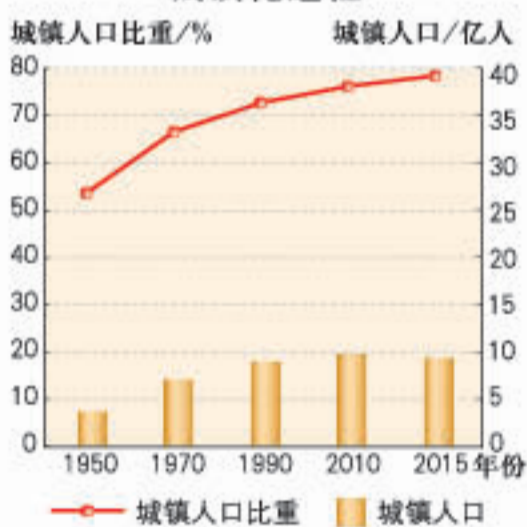


城镇化的地域差异

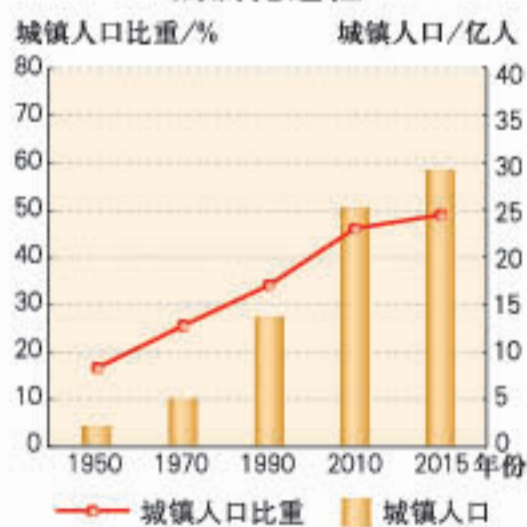
1950—2015年世界城镇化进程



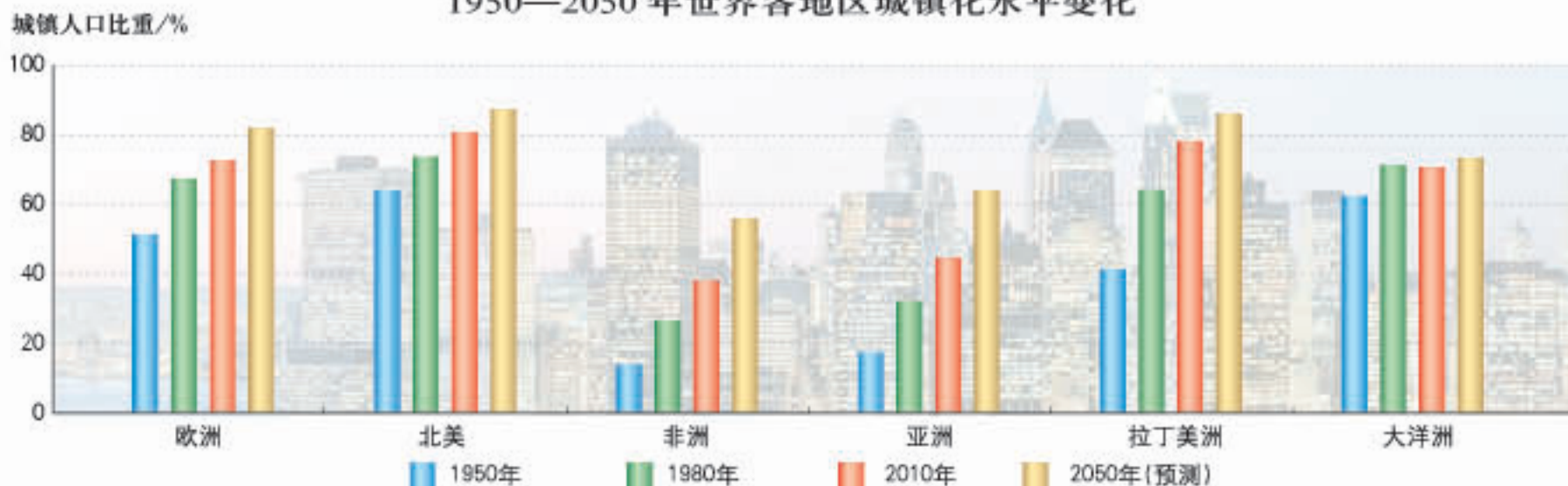
1950—2015年发达国家城镇化进程



1950—2015年发展中国家城镇化进程

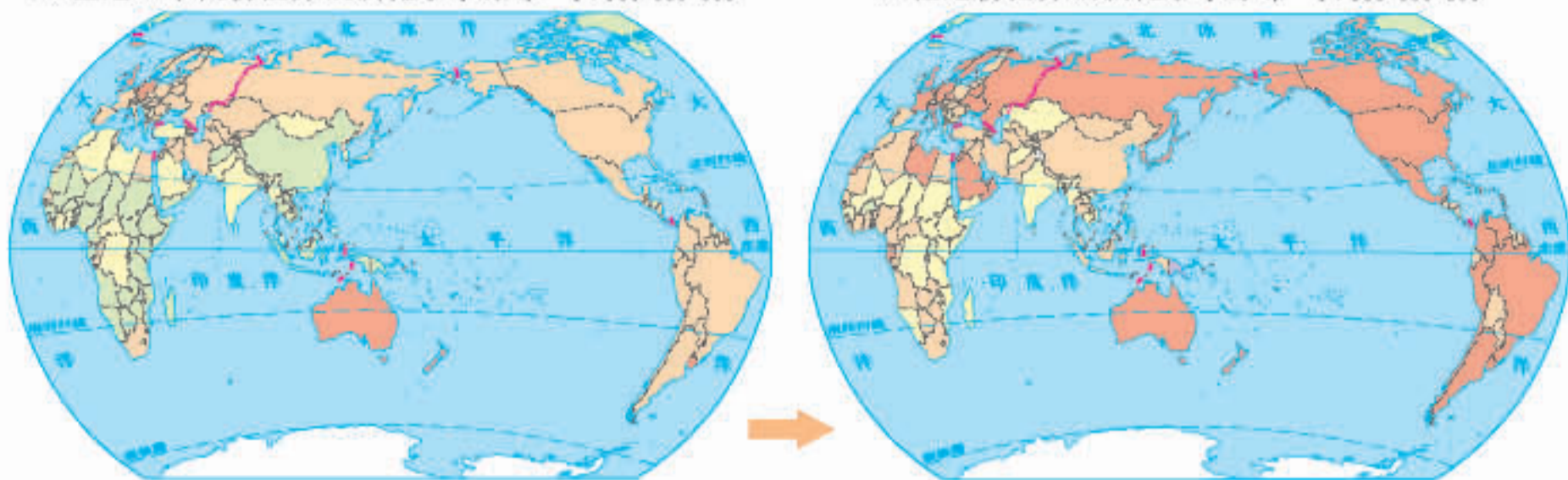


1950—2050年世界各地区城镇化水平变化



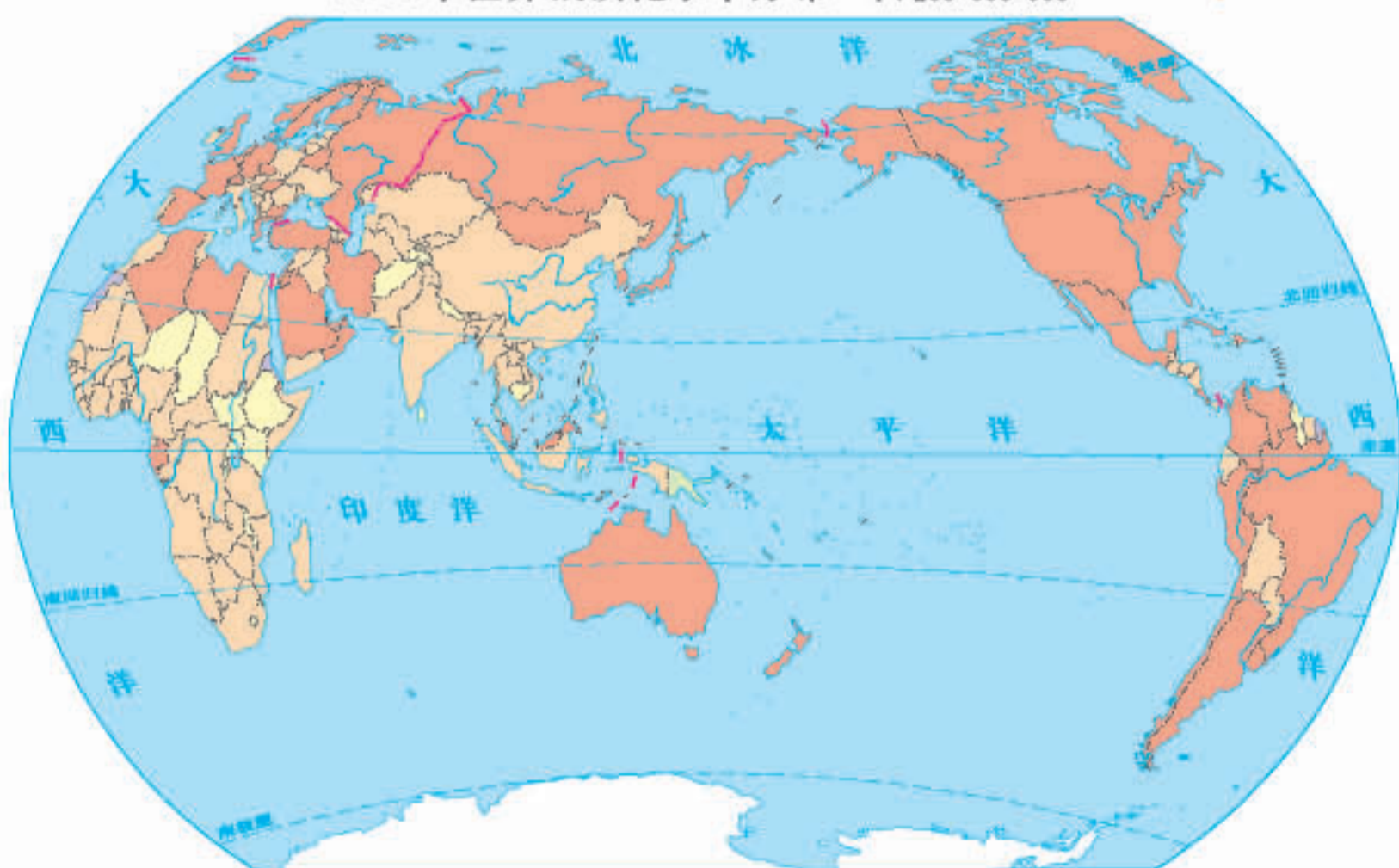
20世纪50年代初世界城镇化水平分布 1:360 000 000

21世纪初世界城镇化水平分布 1:360 000 000



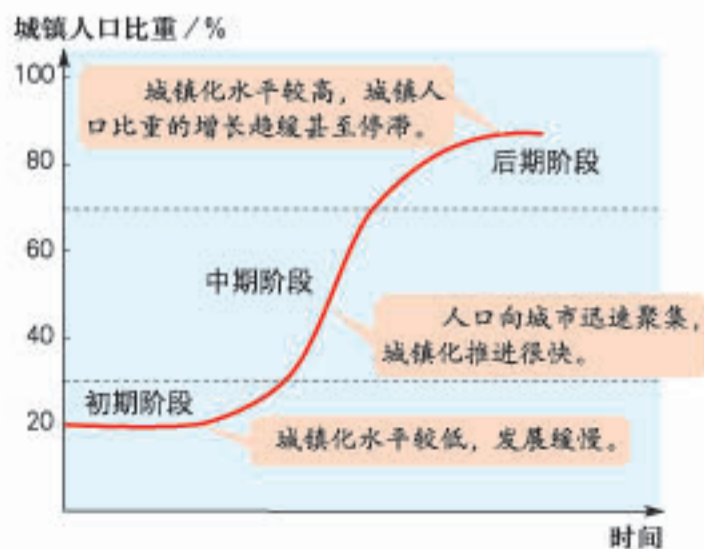
城镇人口比重/% ■ <15 ■ 15~30 ■ 30~70 ■ >70 ■ 资料暂缺

2016年世界城镇化水平分布 1:200 000 000

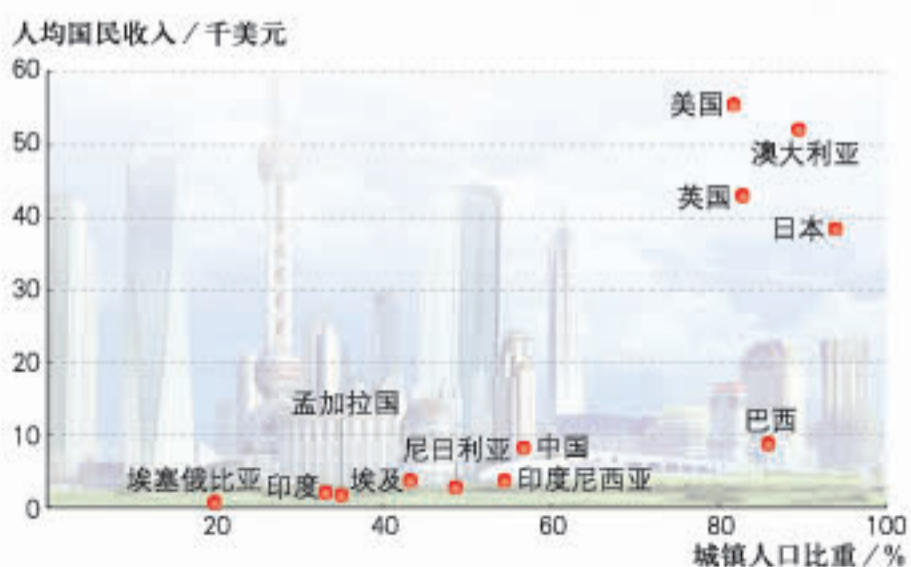


城镇人口比重/% ■ <15 ■ 15~30 ■ 30~70 ■ >70 ■ 资料暂缺

城镇化进程示意



2016年部分国家经济发展水平与城镇化水平





2016年我国部分地区夜间灯光图



▲ 上述三张图为同一比例尺，从中可看出长江三角洲地区城市群规模较大。

1949—2017年我国城镇化进程



城镇化对地理环境的影响

城镇化对地理环境的影响



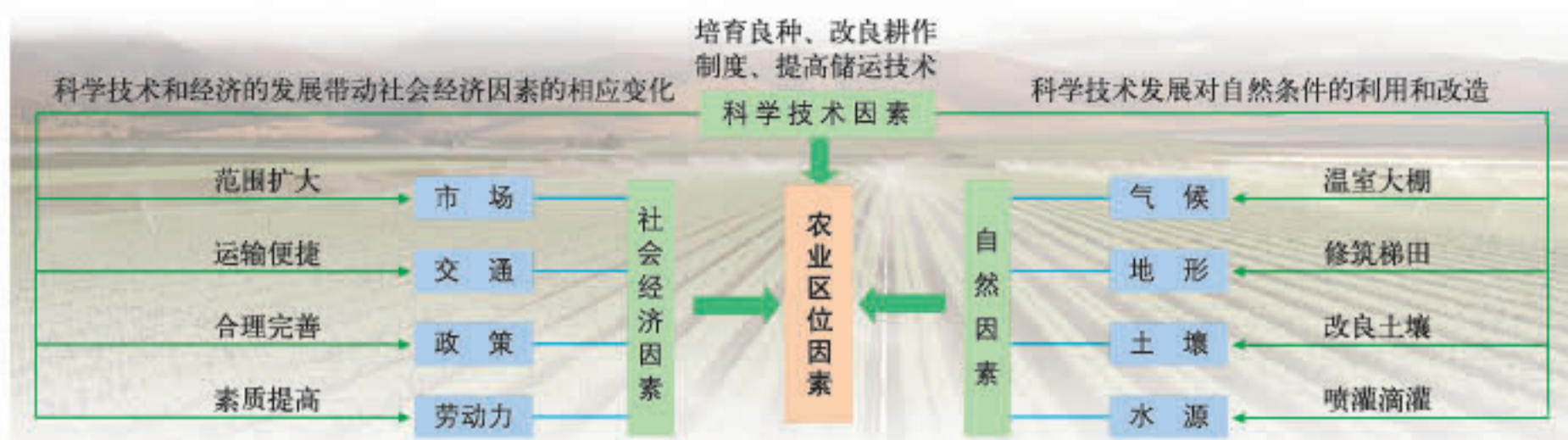
1990—2015年斯德哥尔摩人均二氧化碳排放量变化



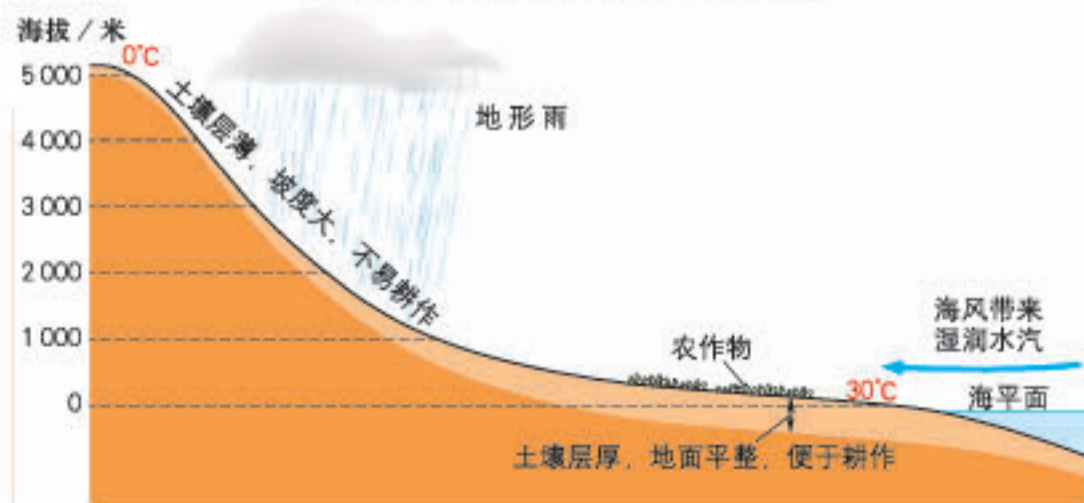
2010年，斯德哥尔摩被欧盟委员会评为首个“欧洲绿色首都”。该市采取了一系列措施缓解城市拥堵，减少车辆尾气排放对环境造成的负面影响。如在通往市中心的道路上设置道路监视器，识别工作日白天进出市中心的车辆，收取拥堵税，使交通拥堵水平降低了约25%。

农业区位因素

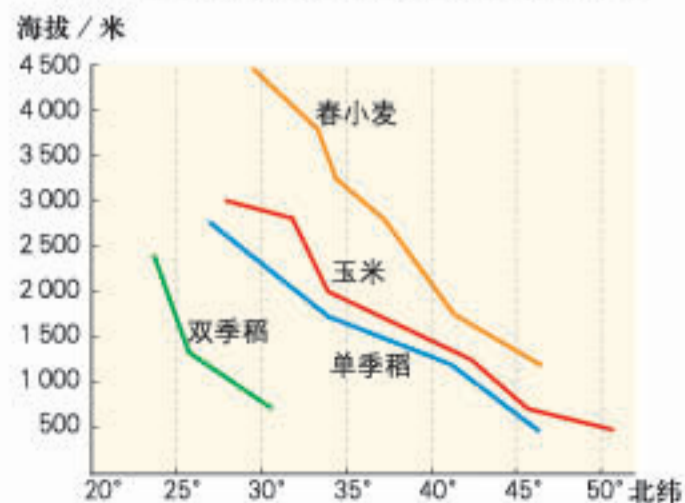
影响农业的区位因素



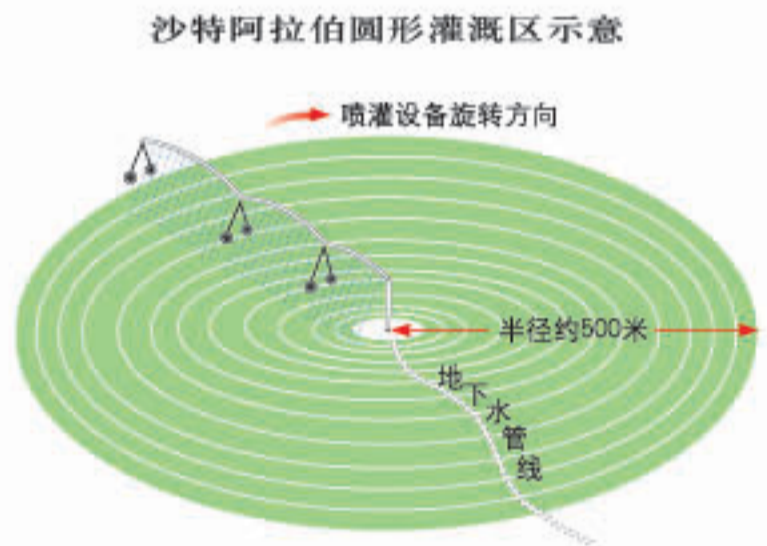
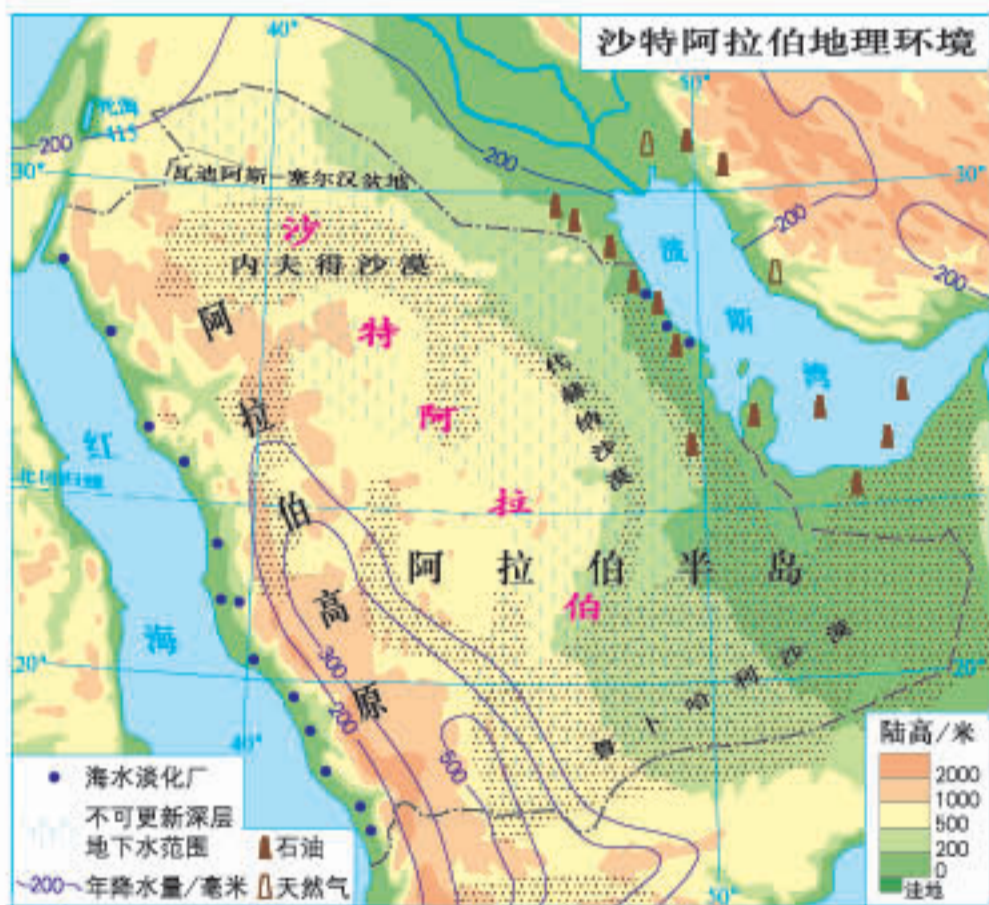
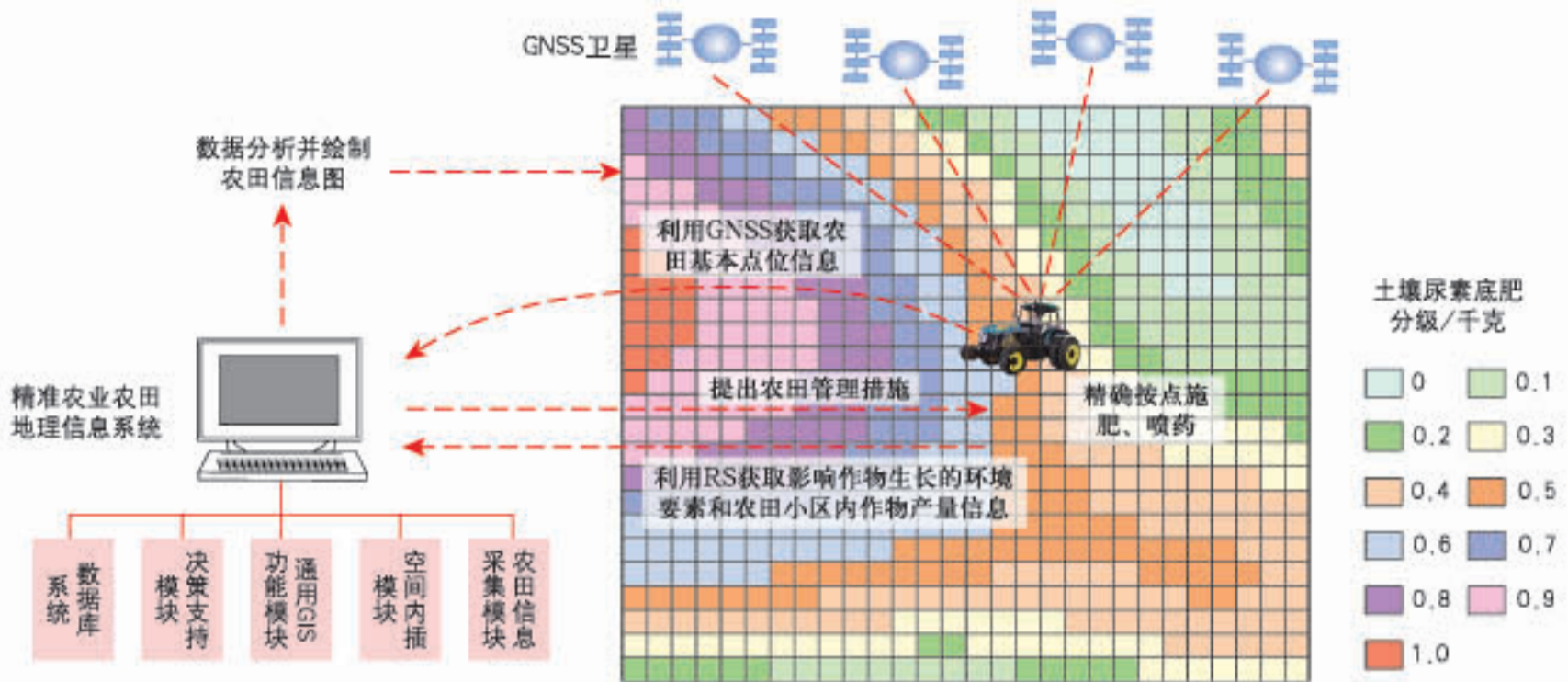
地形对气候和土壤条件的影响



我国不同纬度农作物种植海拔上限



地理信息技术服务于农业示例——5米×5米地块尿素施肥作业



▲ 沙特阿拉伯大力应用节水技术，发展耐旱作物，实施海水淡化和污水回用措施。

卫星影像展示 1991—2012 年沙特阿拉伯瓦迪阿斯—塞尔汉盆地农业的变化



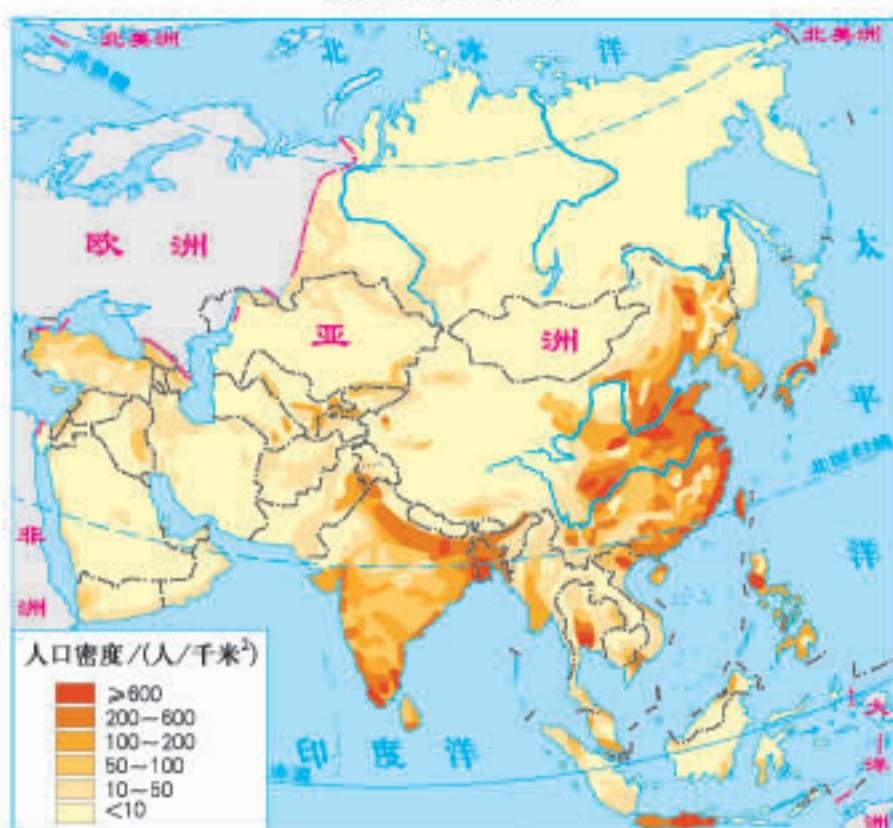
▲ 图中绿色为农田，棕褐色为休耕期的农田，粉红色和黄色为干燥、贫瘠的地面（大部分是沙漠）。

农业布局

亚洲地形



亚洲人口分布



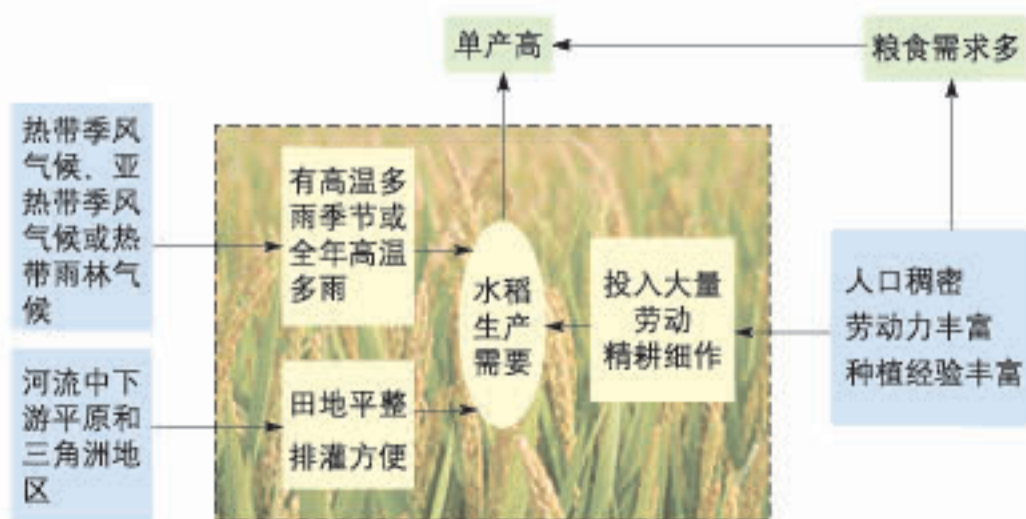
亚洲气候类型分布



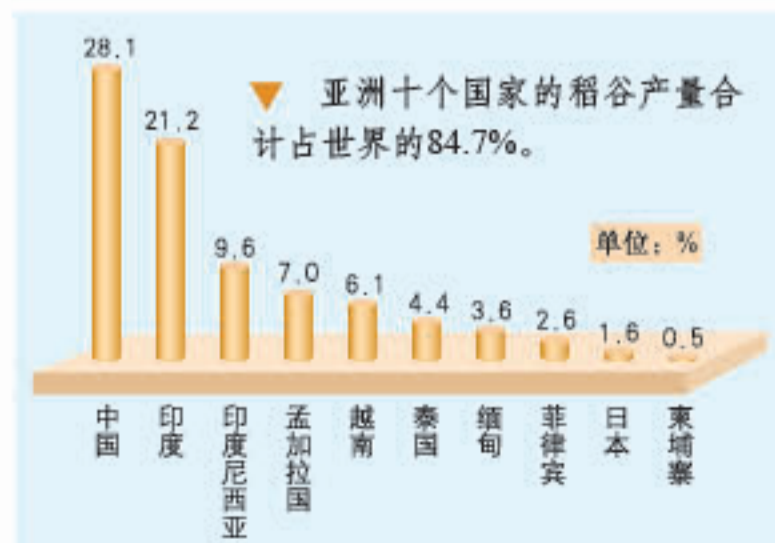
亚洲主要水稻种植区分布



亚洲主要水稻种植区形成条件



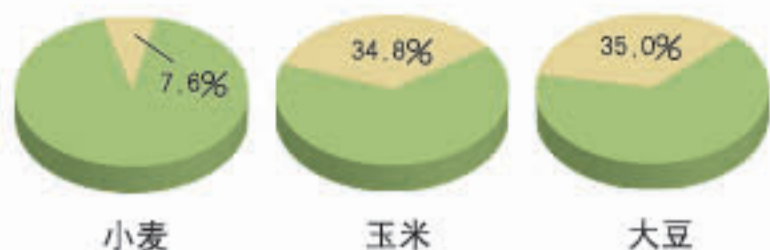
2014年亚洲部分国家稻谷产量占世界的比重



美国本土农牧业分布



2014年美国主要谷物产量占世界的比重



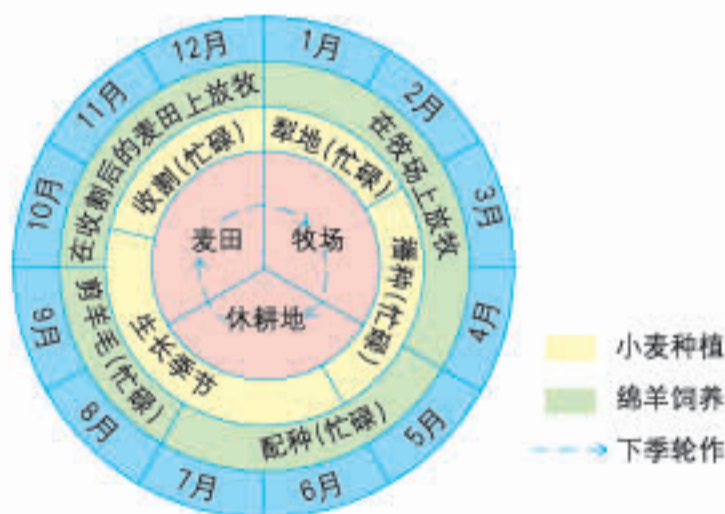
美国商业型谷物种植业商品率高的原因



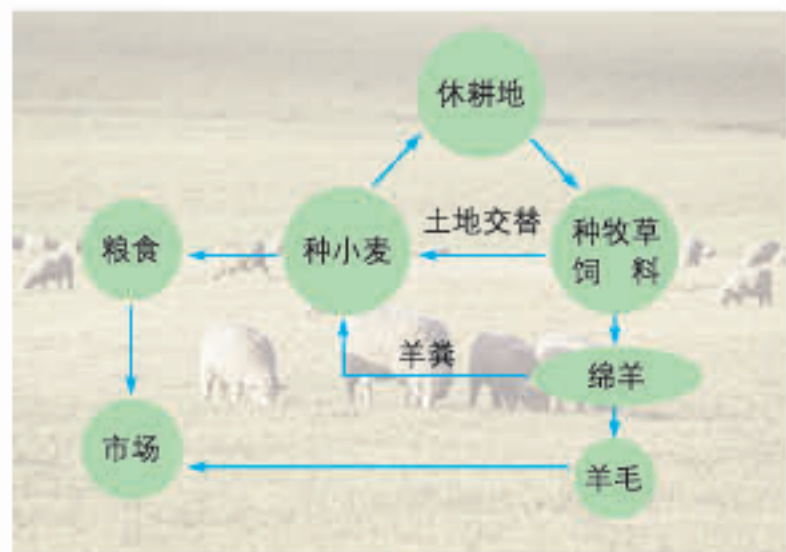
澳大利亚农牧业分布



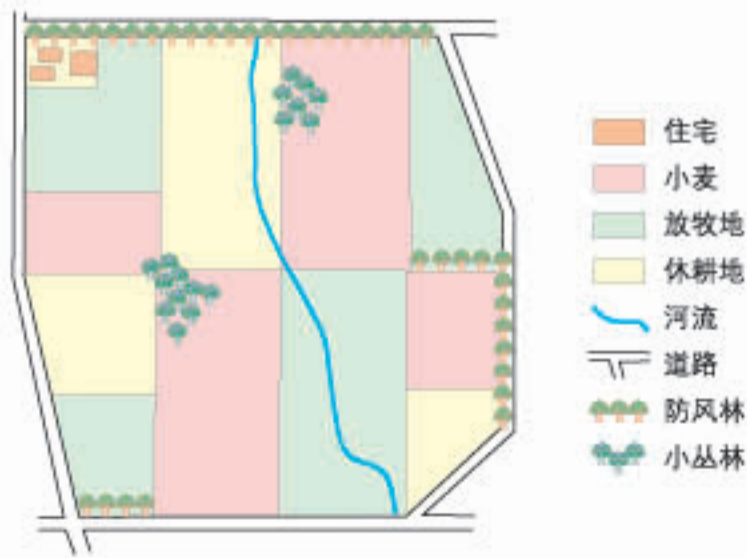
澳大利亚小麦—牧羊农场的农事安排



墨累—达令盆地混合农业的良性生态系统示意

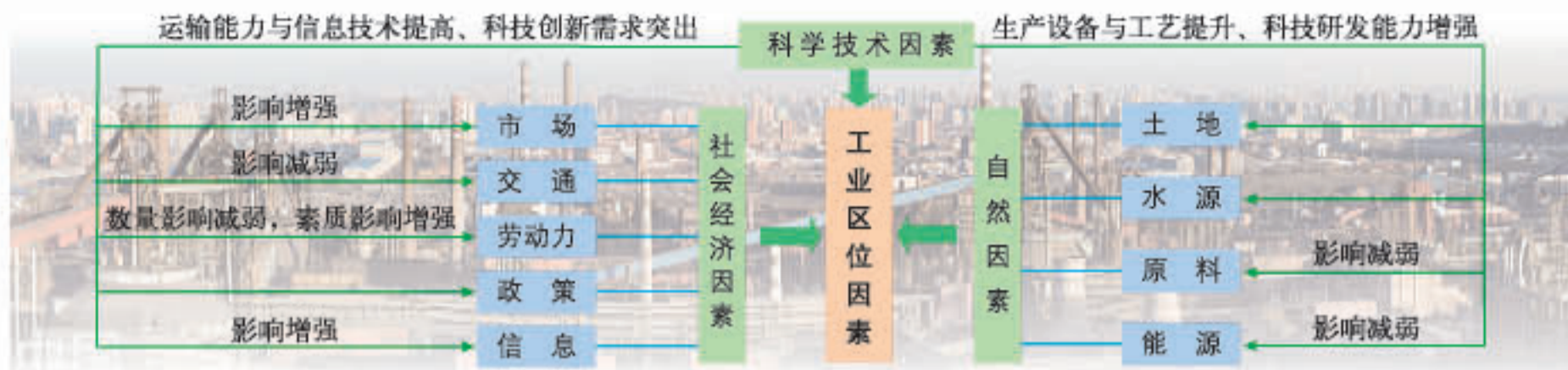


澳大利亚小麦—牧羊农场的土地利用示意

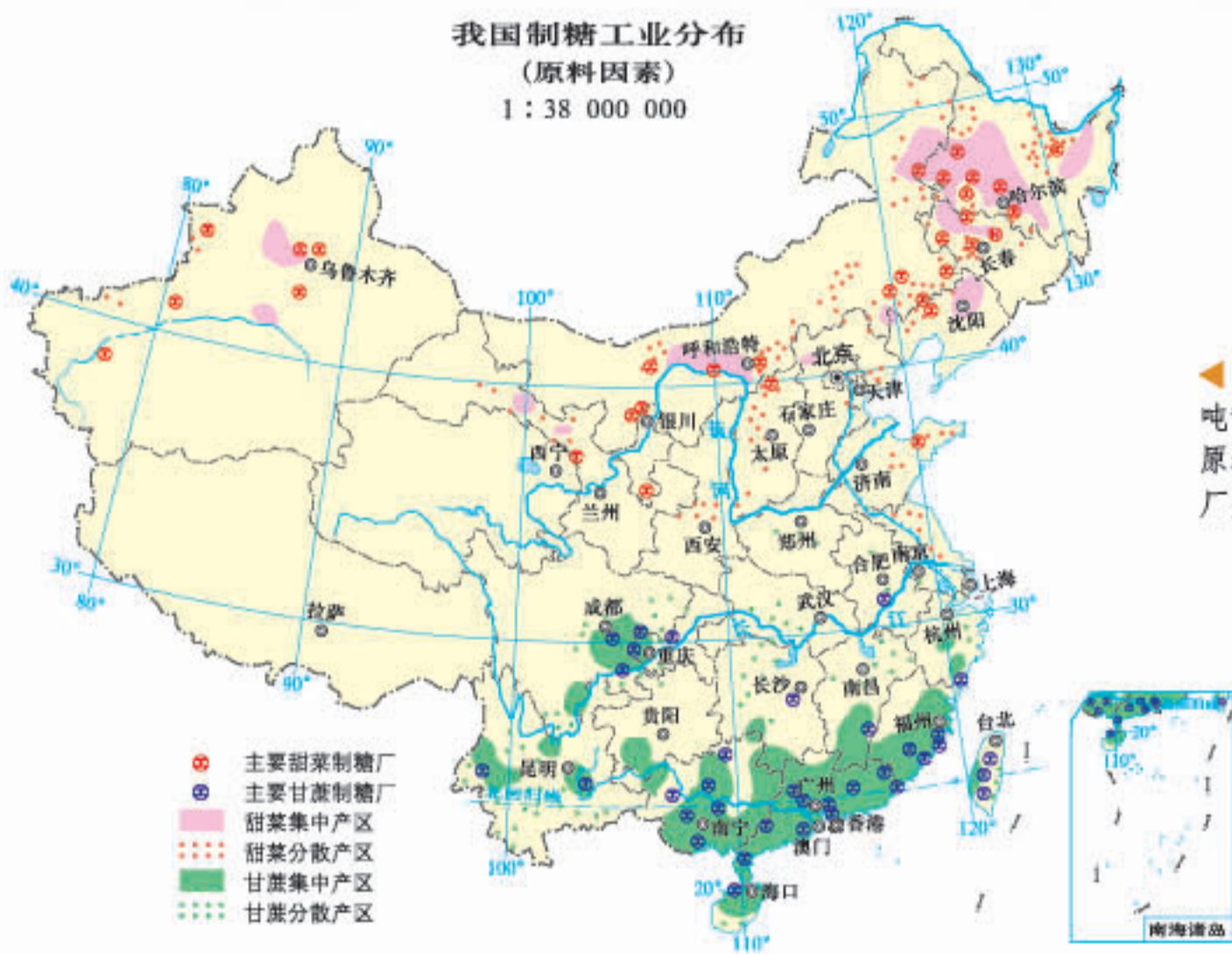


工业区位因素

影响工业的区位因素



我国制糖工业分布
(原料因素)
1:38 000 000



制作1吨糖需要约8吨甜菜或甘蔗，为节省原料的运输费用，制糖厂多靠近原料产地。

某大型跨国服装企业工厂在亚洲的分布
(廉价劳动力因素)

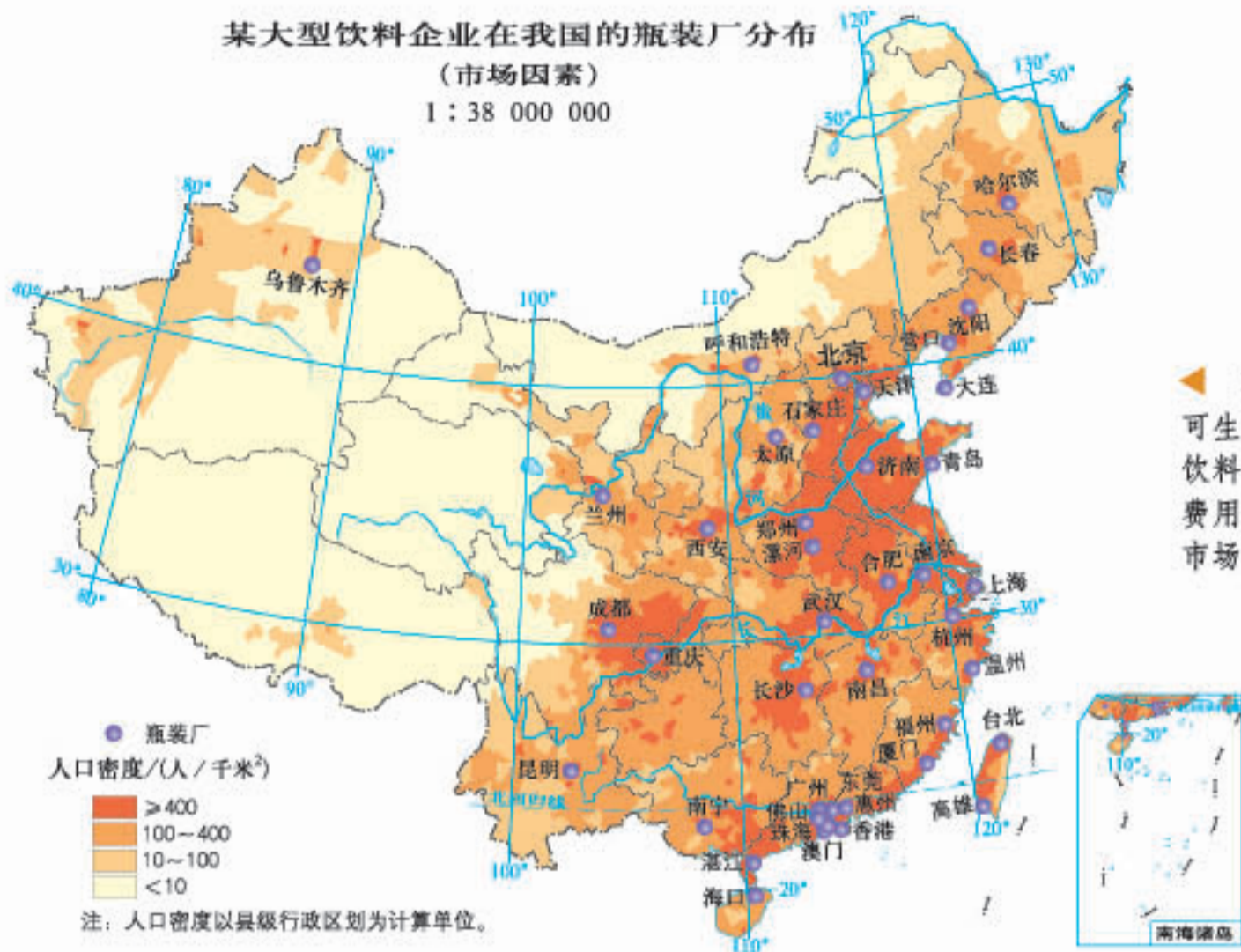


加拿大炼铝业
(动力因素)



工厂69%分布在亚洲，主要集中在亚洲有大量廉价劳动力又便于运输的国家。

某大型饮料企业在我国的瓶装厂分布
(市场因素)
1 : 38 000 000



1升饮料浓缩液大约可生产1 000瓶500毫升的饮料，为节省产品的运输费用，饮料瓶装厂多靠近市场。



2014年底，济南市政府印发《关于推进东部老工业区工业企业搬迁改造的意见（试行）》，敲定老工业区搬迁改造方案，改善城市环境质量。



硅谷是美国信息技术产业的集聚地，其特点是以附近具有雄厚科研力量的美国顶尖大学如斯坦福大学等为依托。

工业布局

世界主要工业区分布 1:180 000 000



某飞机制造企业在我国的总装厂及零部件来源地 1:60 000 000



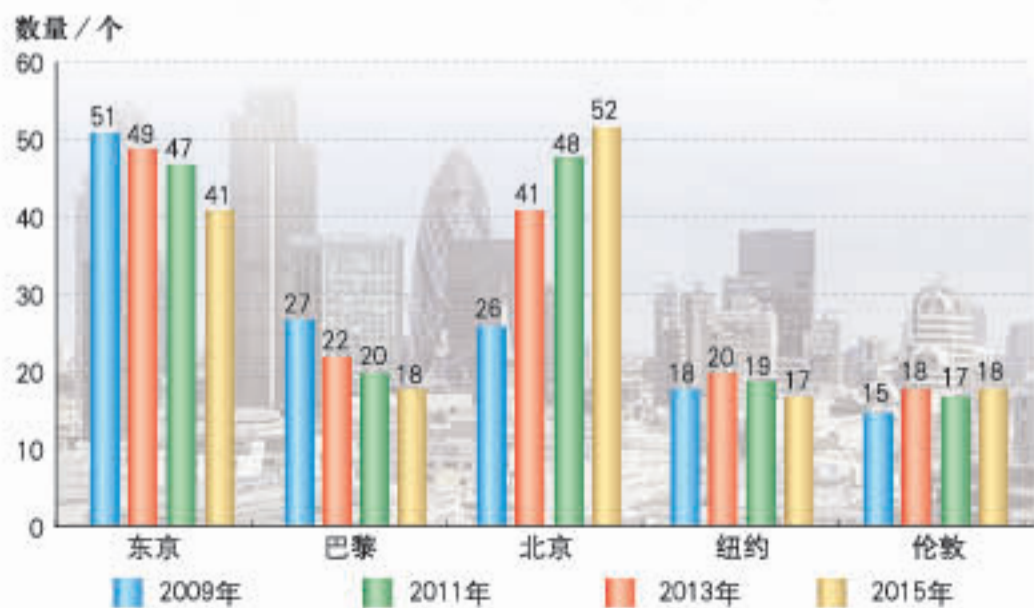
▲ 2008年，某飞机制造企业在天津建立飞机总装线。随后，又与哈尔滨、沈阳、上海、西安、成都等地的多家航空制造企业合作，建立了飞机制造的产业链。

生产性服务业——以金融服务业为例

世界金融中心分布 1 : 230 000 000



2009—2015 年世界 500 强企业总部在部分城市的数量变化



生活性服务业——以商业服务业为例



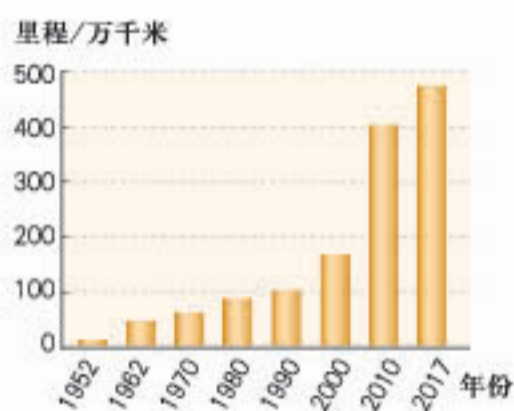
交通运输方式和布局

我国主要国际航空线和远洋航线分布 1:180 000 000

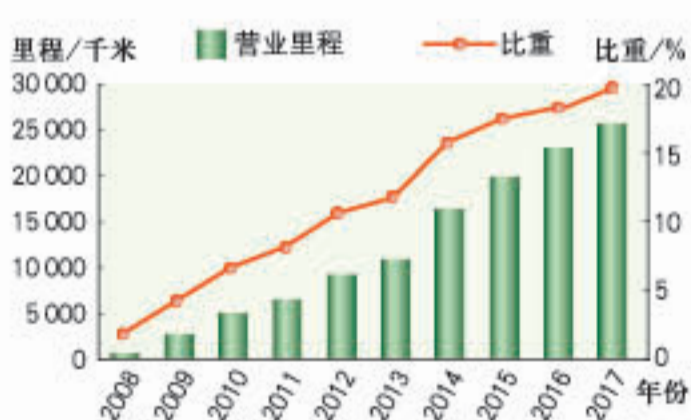




1952—2017年我国公路里程变化



2008—2017年我国高速铁路营业里程及其占铁路营业里程的比重变化



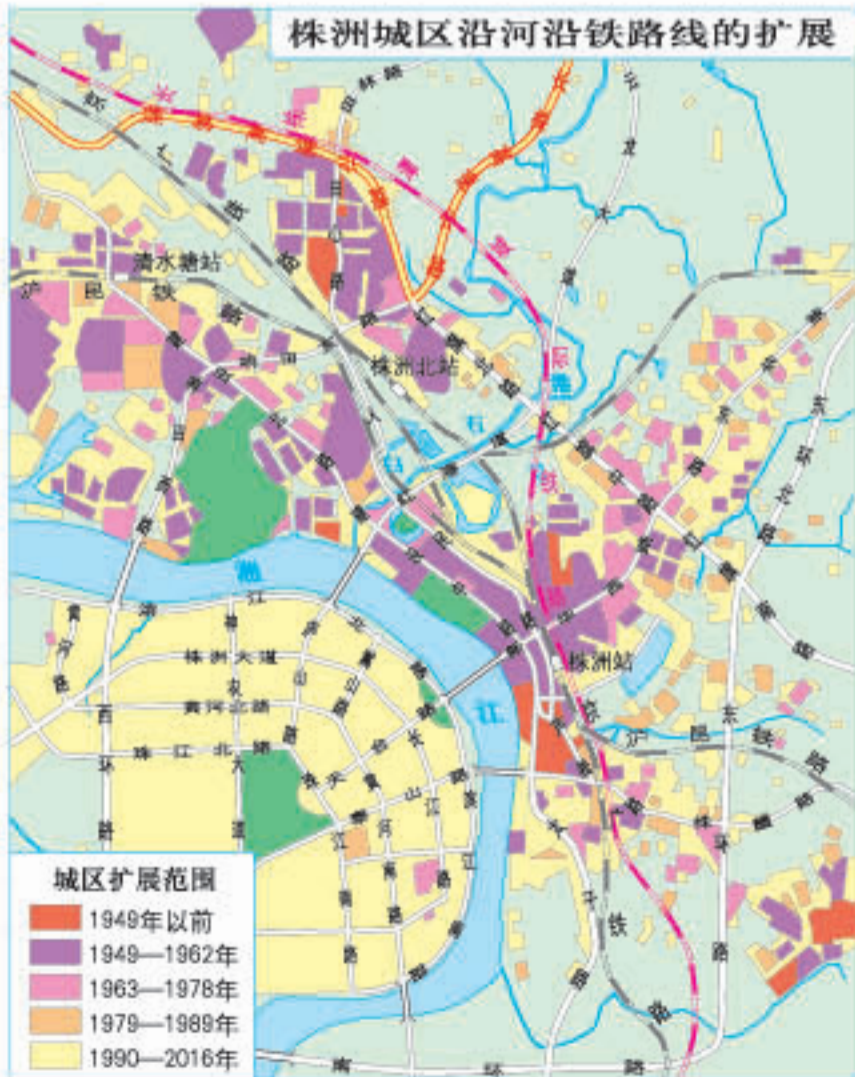
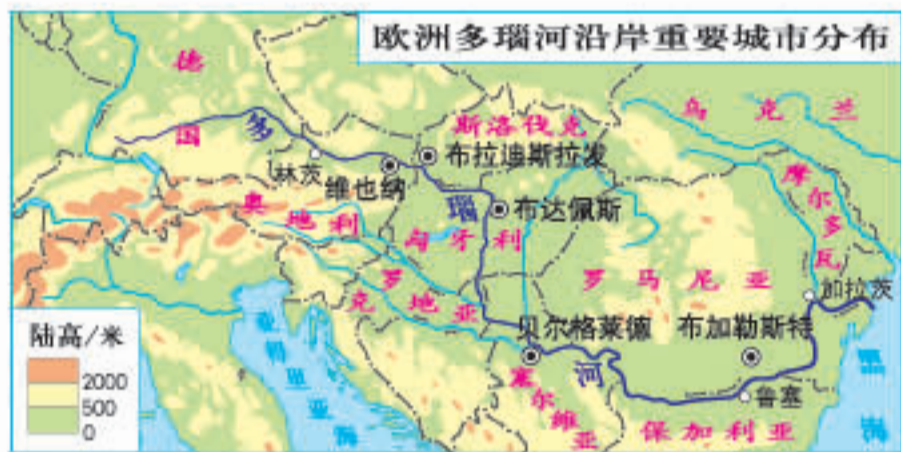
京广铁路及高速铁路运营时间



沪昆铁路及高速铁路运营时间



交通运输对区域发展的影响





我国通过中缅油气管道进口原油量



▲ 2017年5月经中缅油气管道运送的首批原油抵达我国。截至2018年7月，中缅油气管道累计向我国输送原油1 000万吨。



合福高速铁路及沿线旅游景点分布



合肥到福州各类型列车运行时间对比



合福高速铁路开通前后黄山旅游人数和收入变化

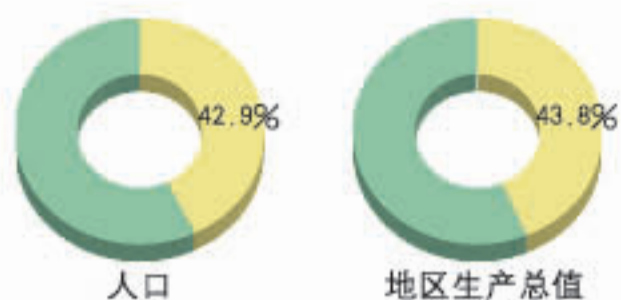


我国宏观发展格局

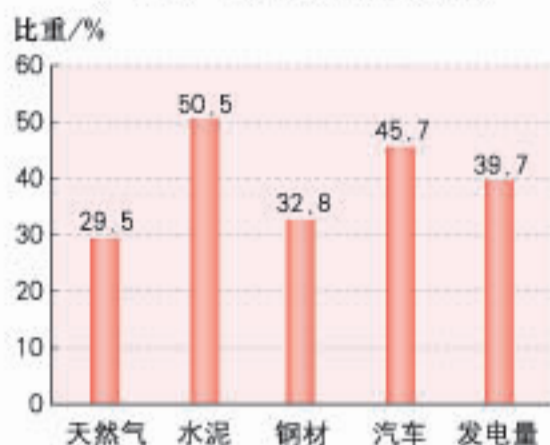


长江经济带发展战略

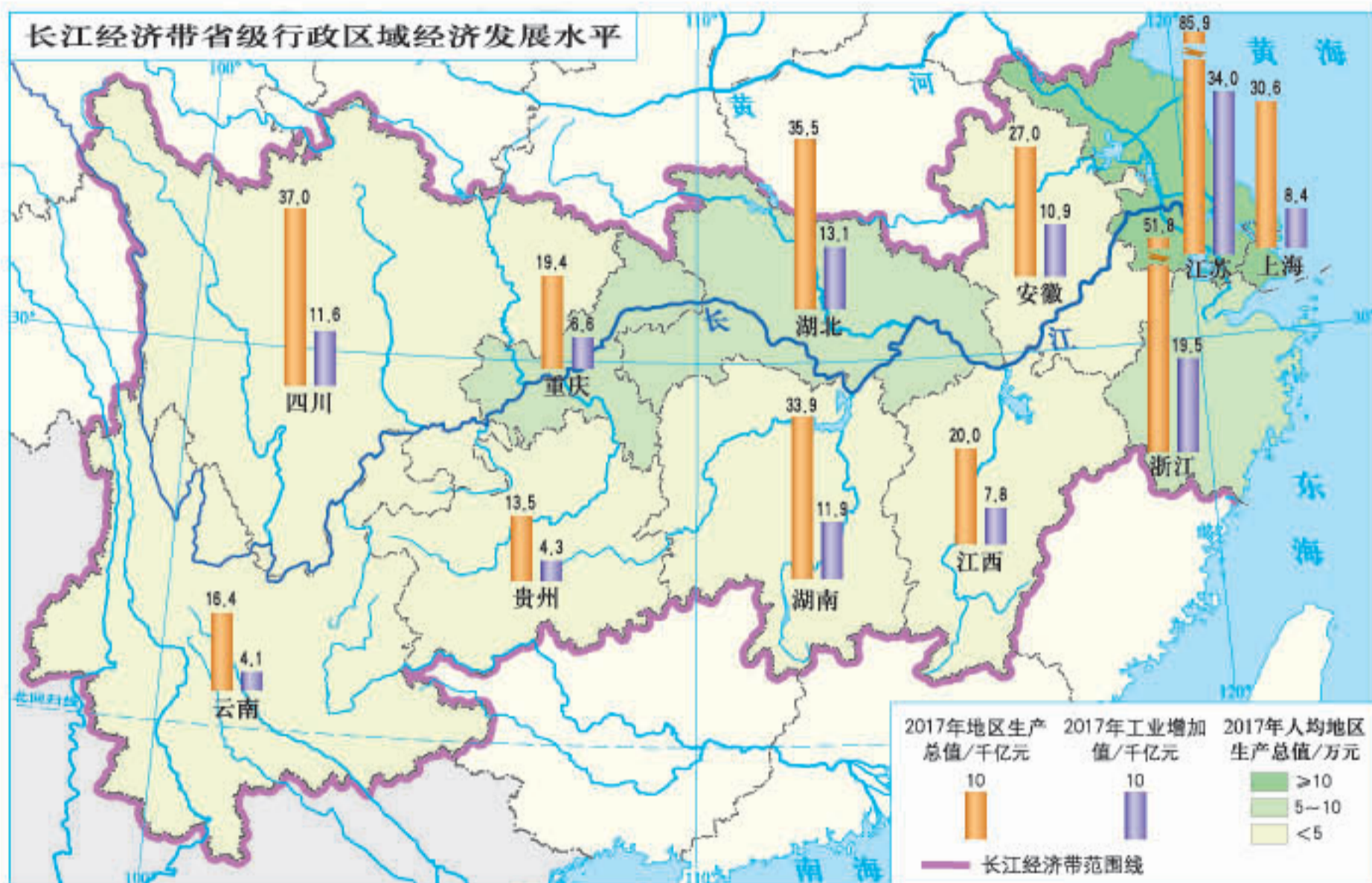
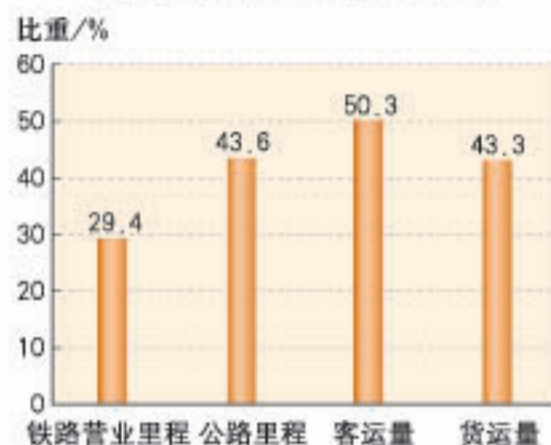
2017年长江经济带人口和地区生产总值占全国的比重



2017年长江经济带主要工业产品产量占全国的比重



2017年长江经济带主要交通运输指标占全国的比重

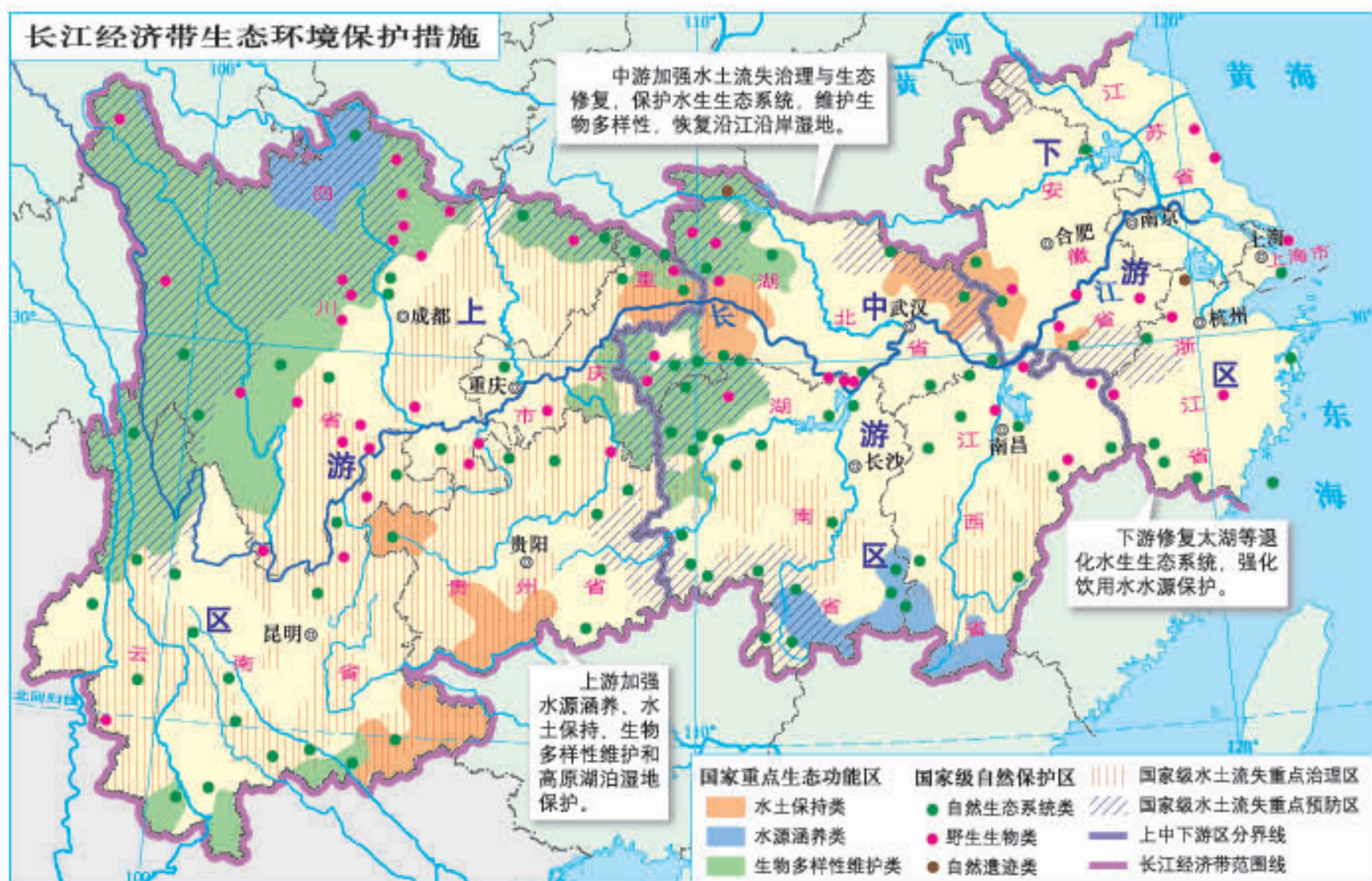
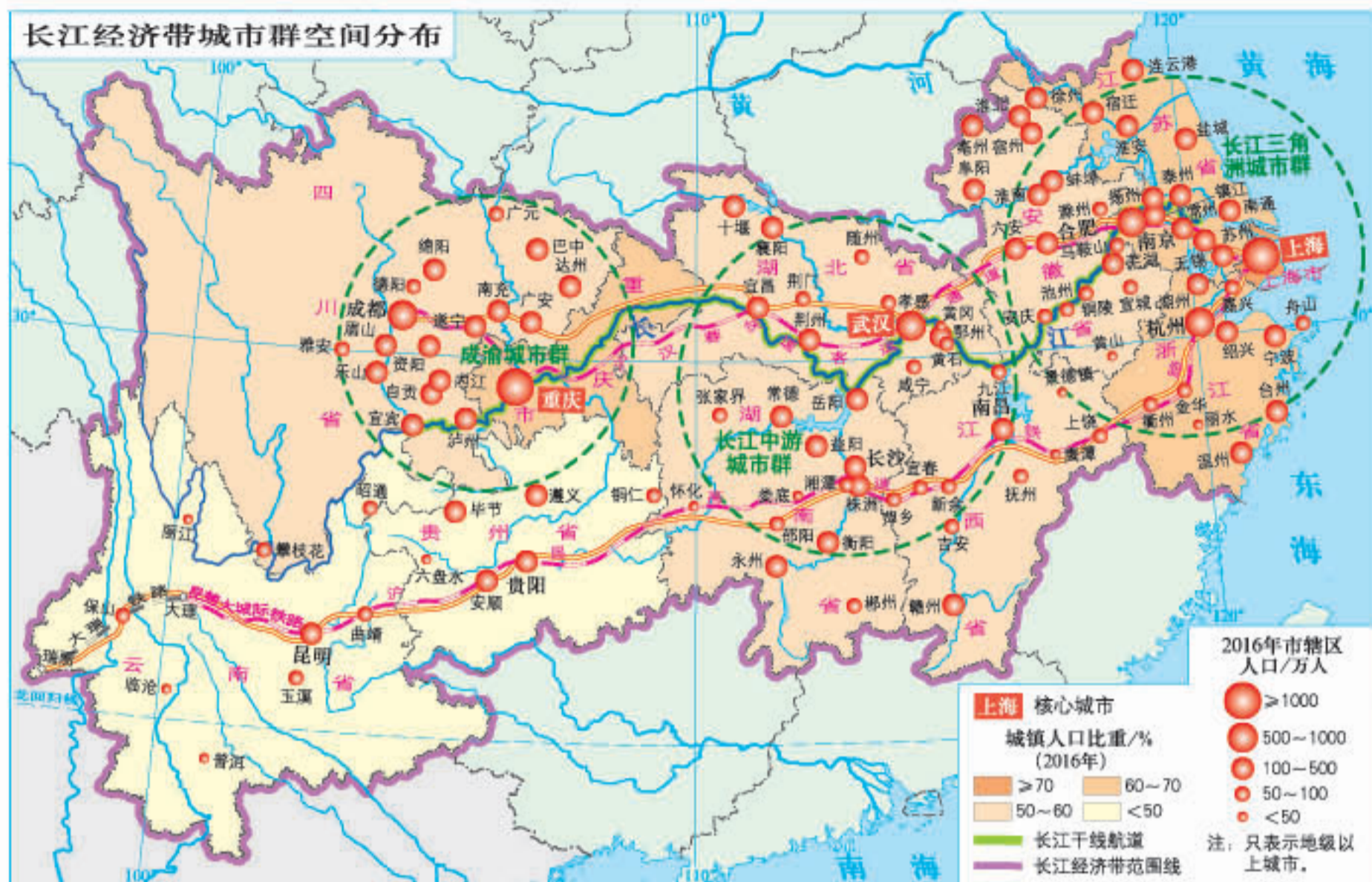


长江经济带东中西部地区生产总值



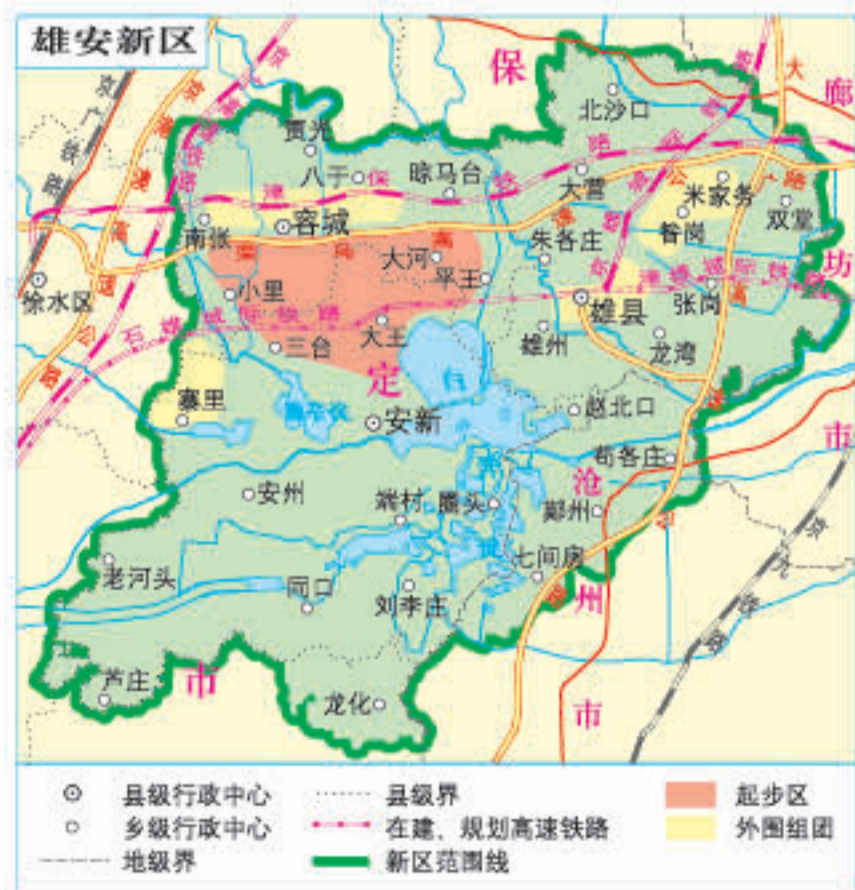
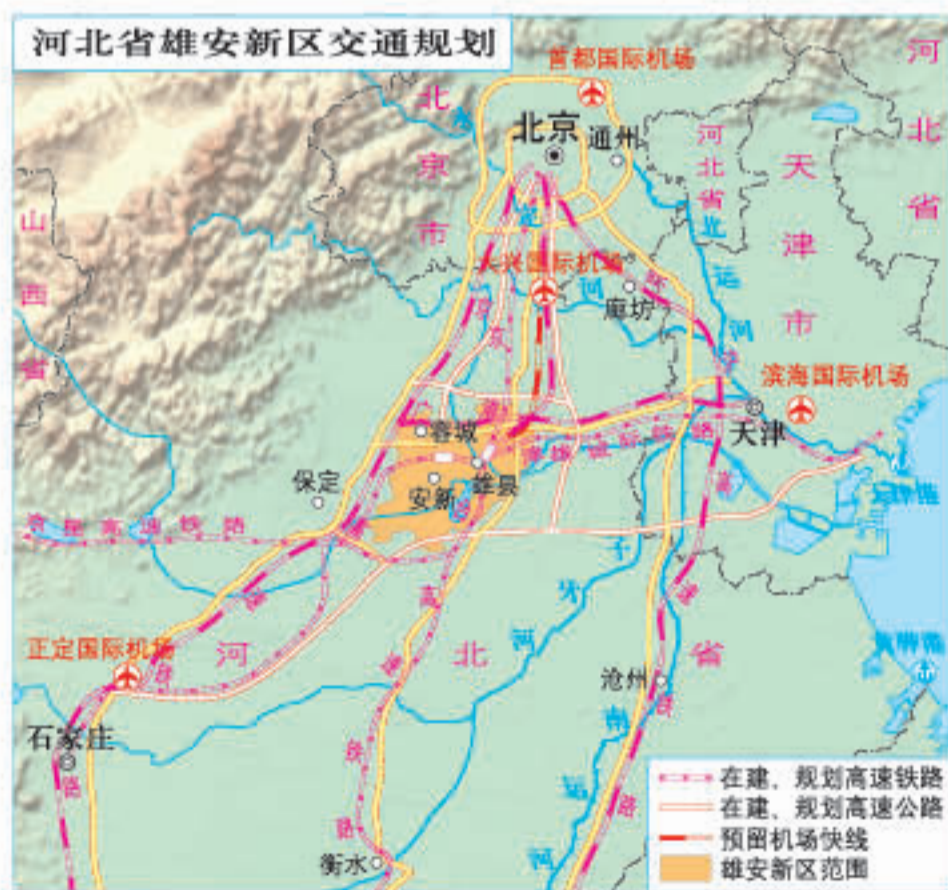
长江经济带东中西部地区工业增加值





注：根据《中国地理国情蓝皮书（2017版）》《全国水土保持规划（2015—2030年）》绘制。

京津冀协同发展战略



▲ 雄安新区地处北京、天津、保定腹地，交通便捷。“四纵两横”区域高速铁路将实现新区20分钟到北京大兴国际机场；30分钟到北京、天津；60分钟到石家庄。“四纵三横”区域高速公路将实现新区60分钟到北京、天津；90分钟到石家庄。

▲ 雄安新区规划范围包括雄县、容城、安新及周边部分区域。容城、安新两县交界区域作为起步区，重点承接北京疏解的事业单位、总部企业、高等院校等。

海洋权益





▶ 海南省包括海南岛和西沙群岛、中沙群岛、南沙群岛等。东沙群岛属广东省管辖。



明代郑和绘制的《自宝船厂开船从龙江关出水直抵外国诸番图》(局部)

▲ 图中将南海诸岛分别标注为“石塘”(西沙群岛)“万生石塘屿”(南沙群岛)“石星石塘”(中沙群岛)。

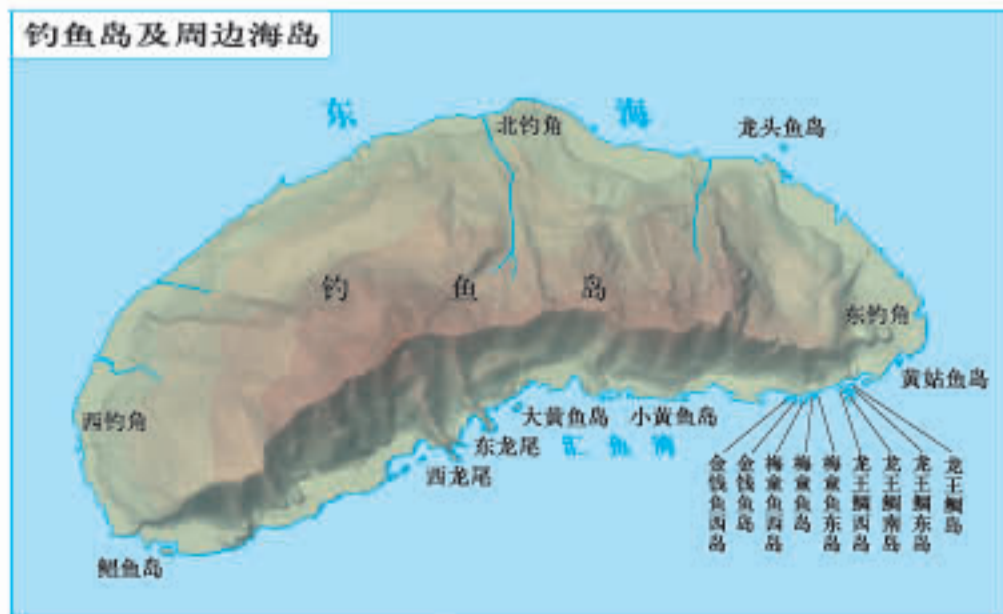
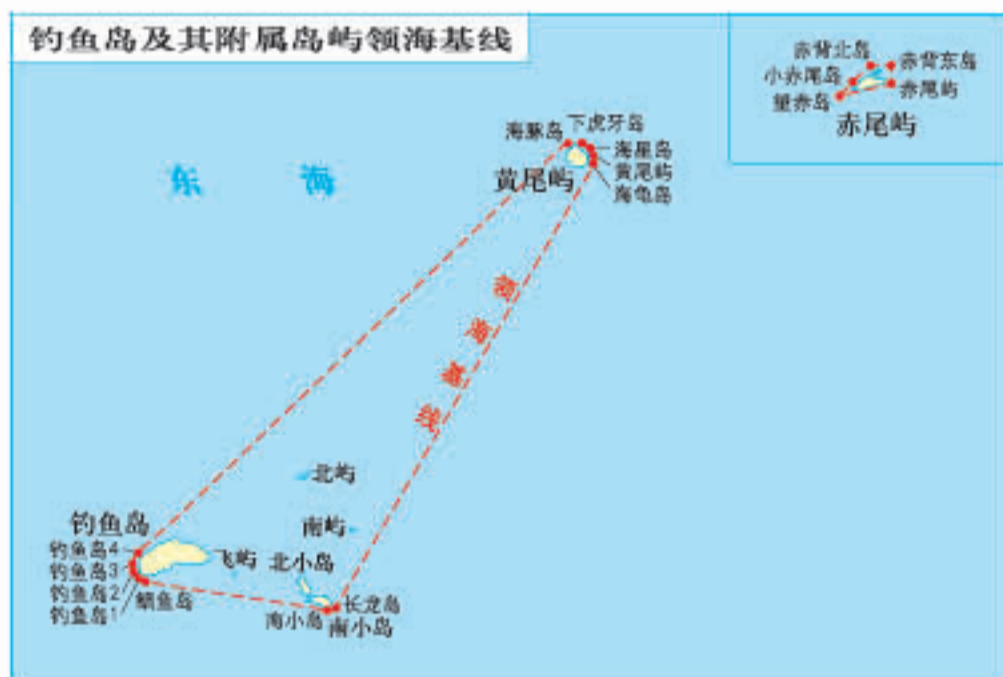
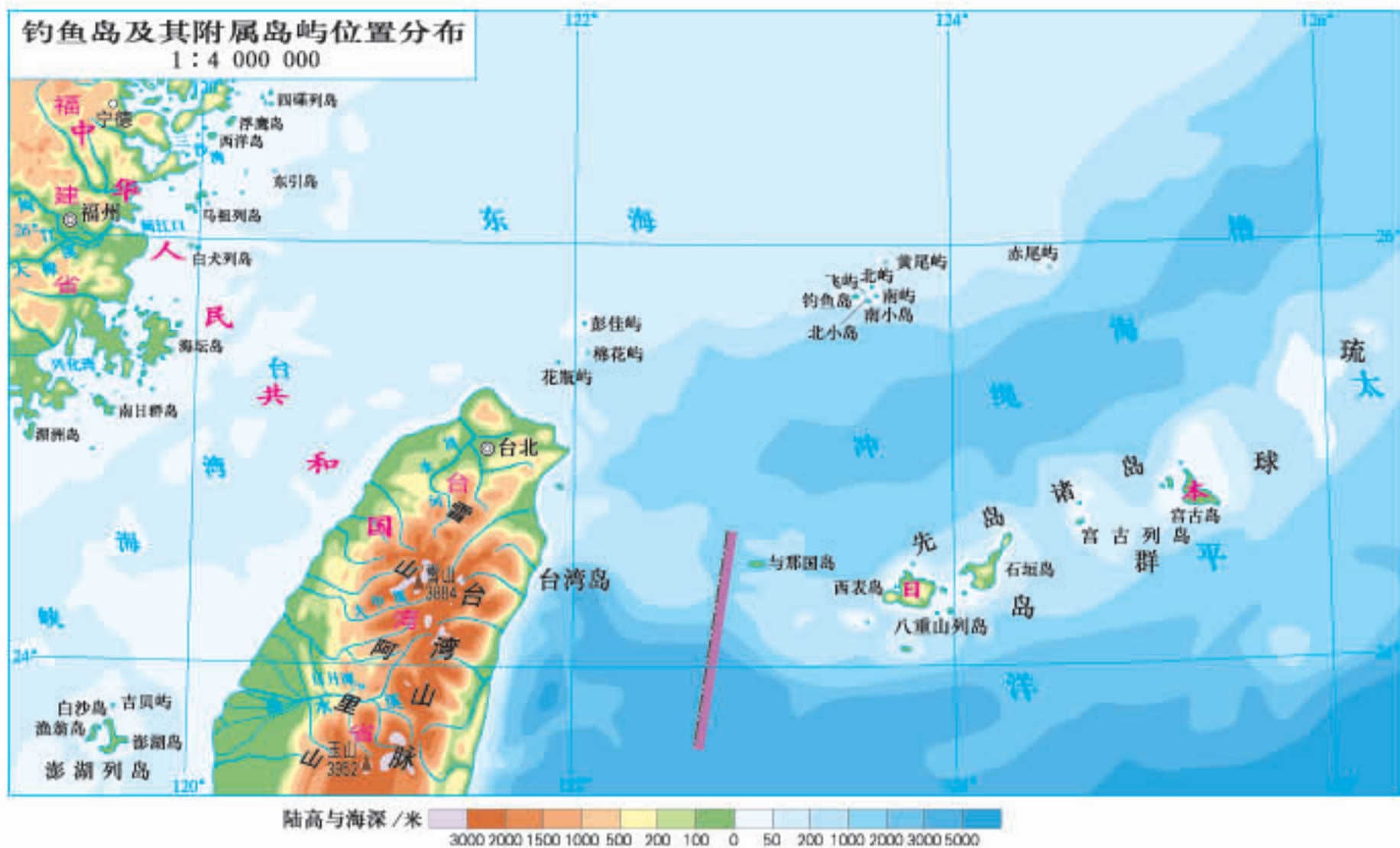


海南省永兴岛卫星影像(2015年)

▶ 图中标绘一条西起中越边界北仑河口, 东至台湾东北共11段线构成的断续线。线内不仅标注东沙、西沙、中沙和南沙群岛的整体名称, 而且还标出曾母暗沙及大部分岛礁的个体名称。



1947年中华民国内政部方域司编印的《南海诸岛位置图》

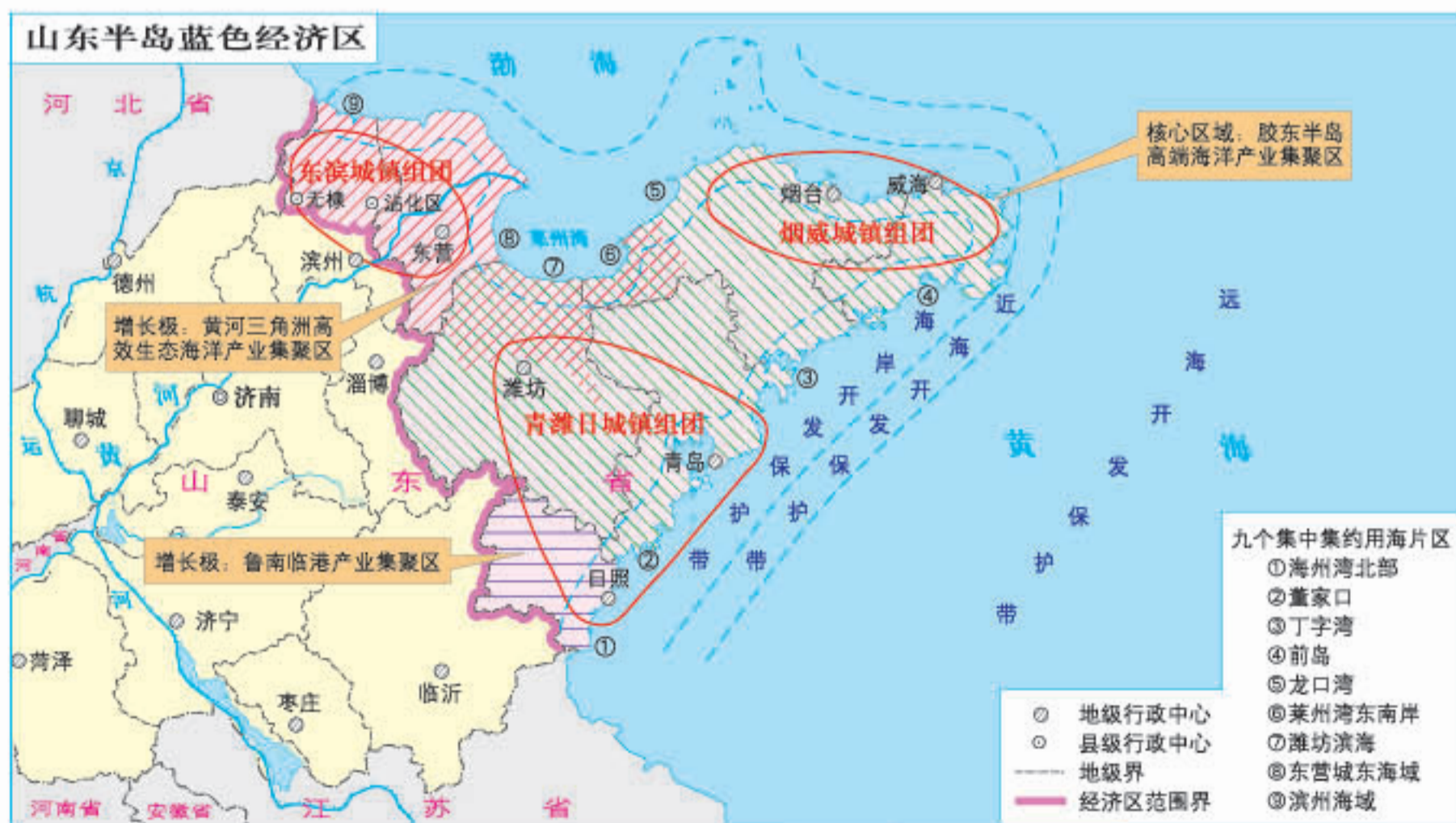


▲ 1562年（明嘉靖四十一年）《筹海图编》中绘制的《沿海山沙图》。最上排从右至左，依次绘有彭加山、钓鱼屿（钓鱼岛）、化瓶山、黄毛山（黄尾屿）、橄榄山（南小岛、北小岛）、赤屿（赤尾屿）等岛屿。此时已把钓鱼岛等岛屿作为中国的领土列入海防区域。

我国新时期海洋发展战略

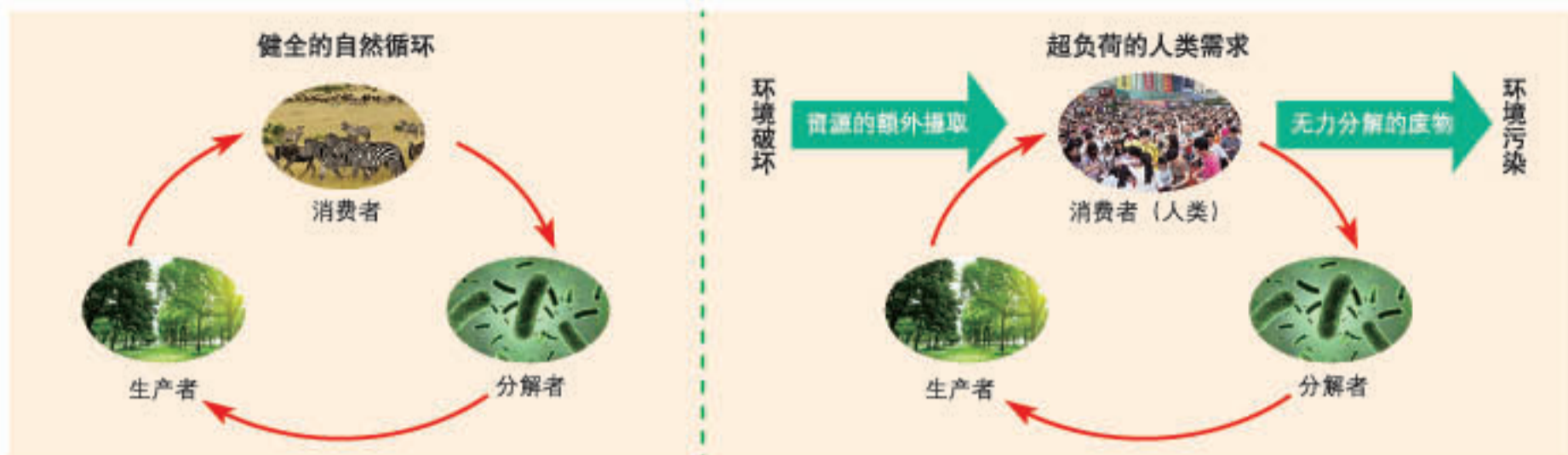


建设海洋强国的战略布局

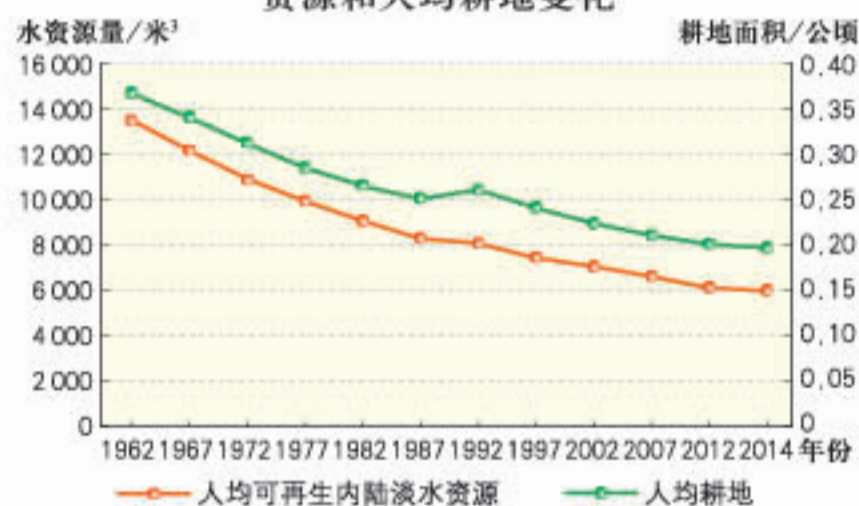


主要环境问题

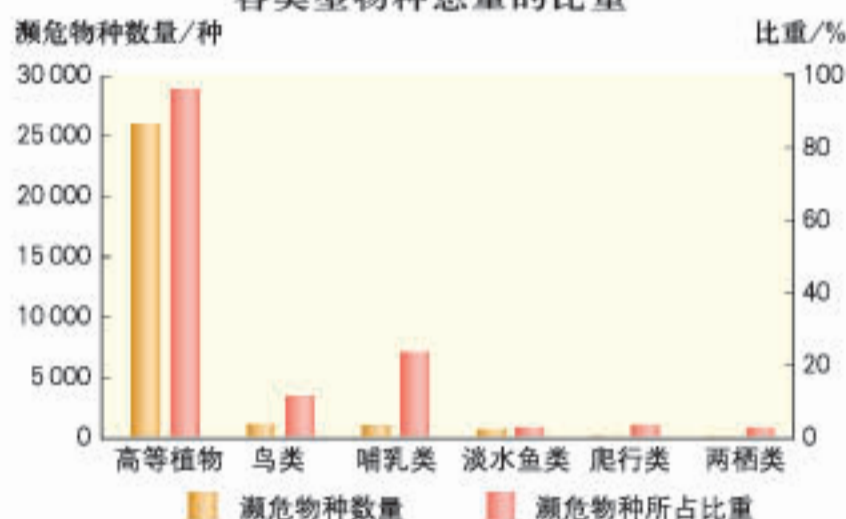
人类过度消费产生环境问题



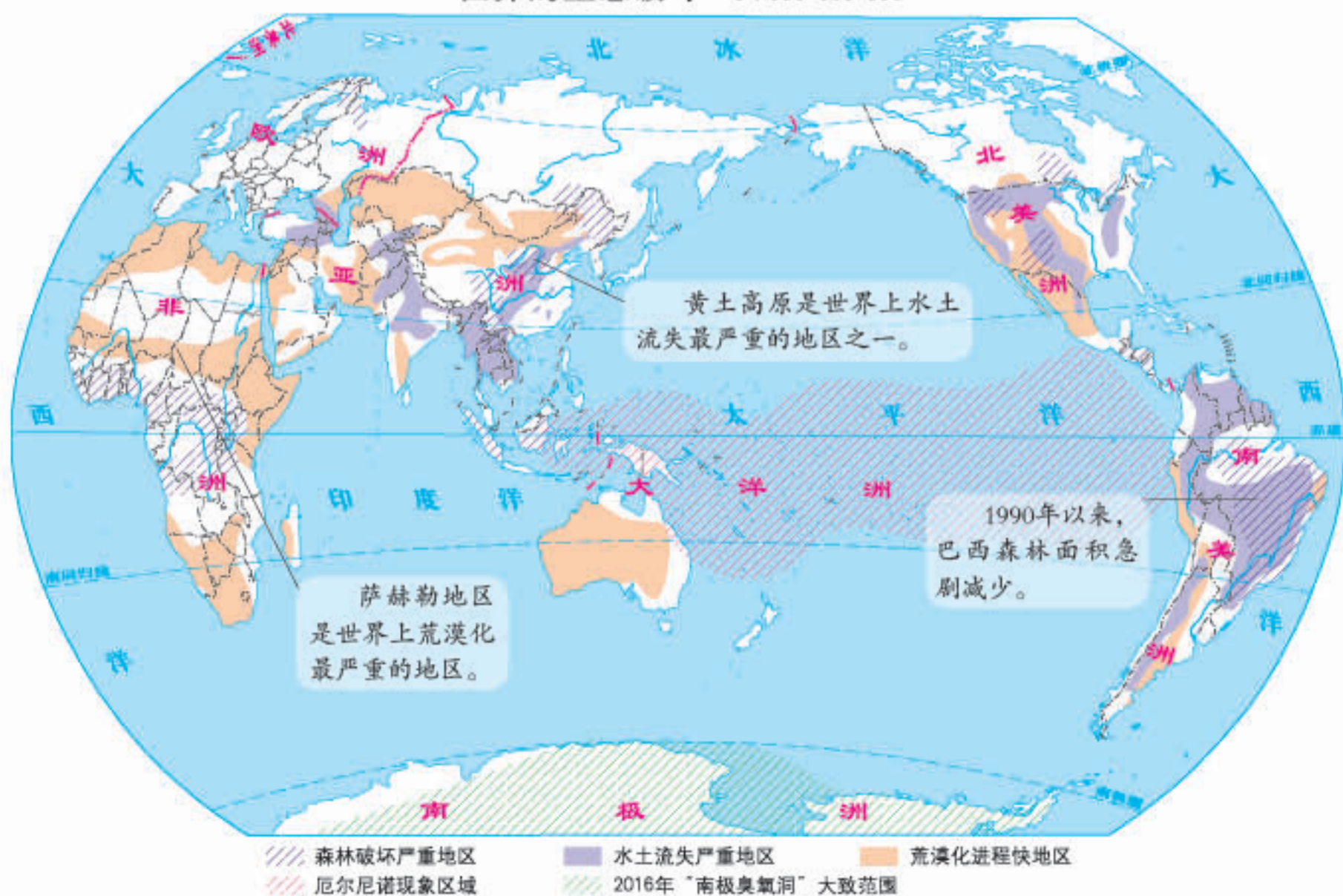
1962—2014年世界人均可再生内陆淡水资源和人均耕地变化



世界各类型濒危物种数量及其占各类型物种总量的比重



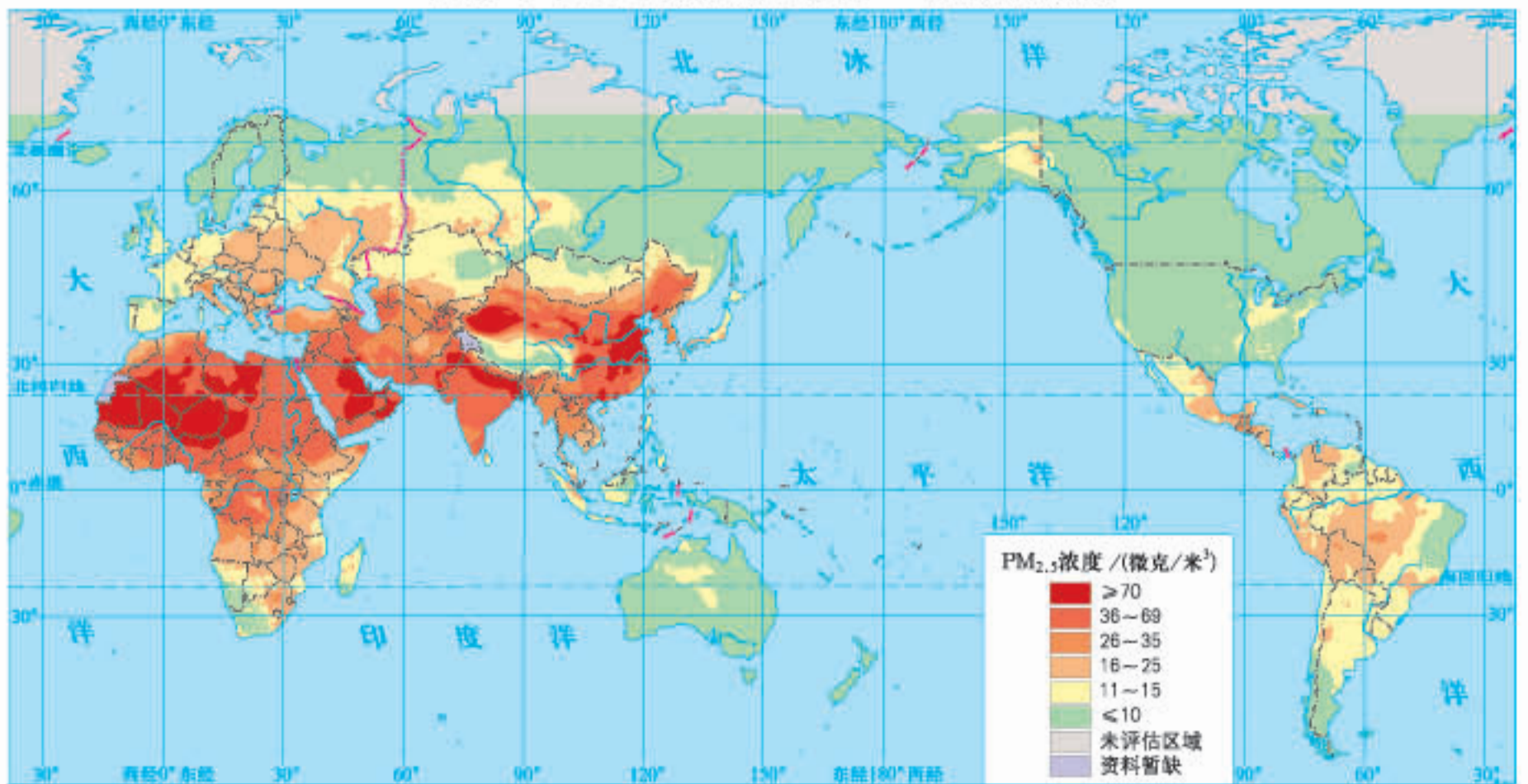
世界的生态破坏 1:180 000 000



世界的环境污染 1:180 000 000



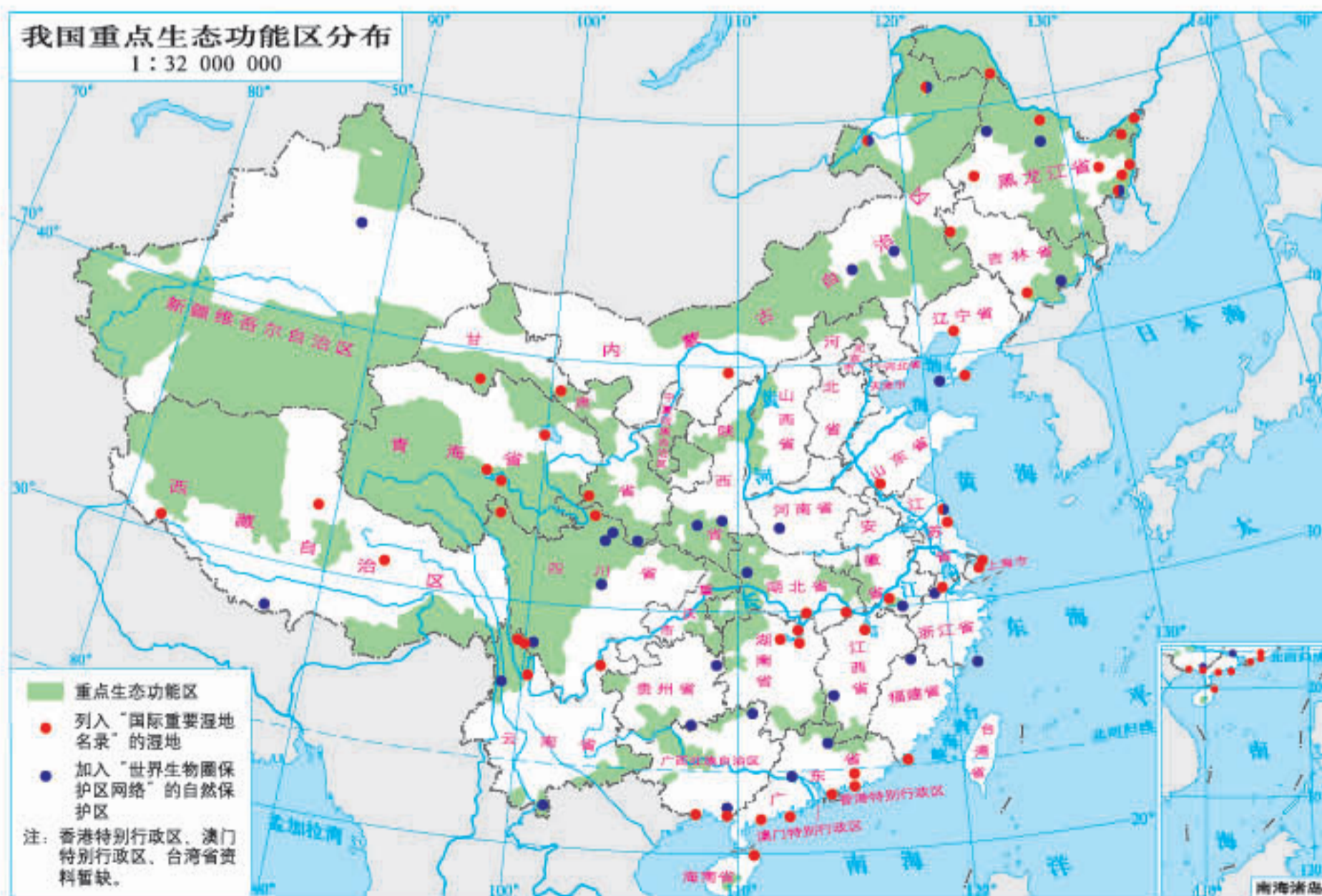
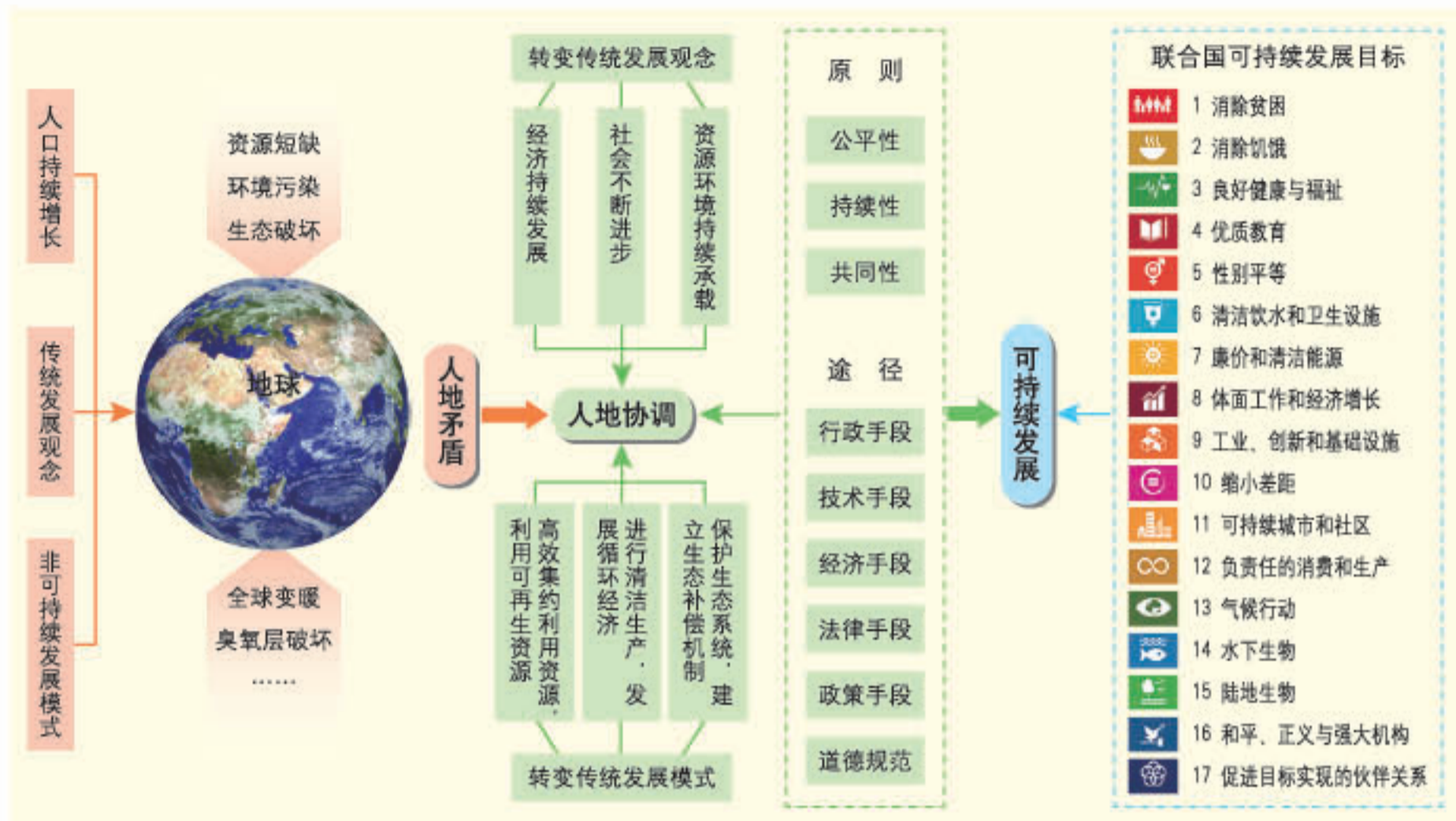
世界年平均PM_{2.5}浓度分布 1:230 000 000

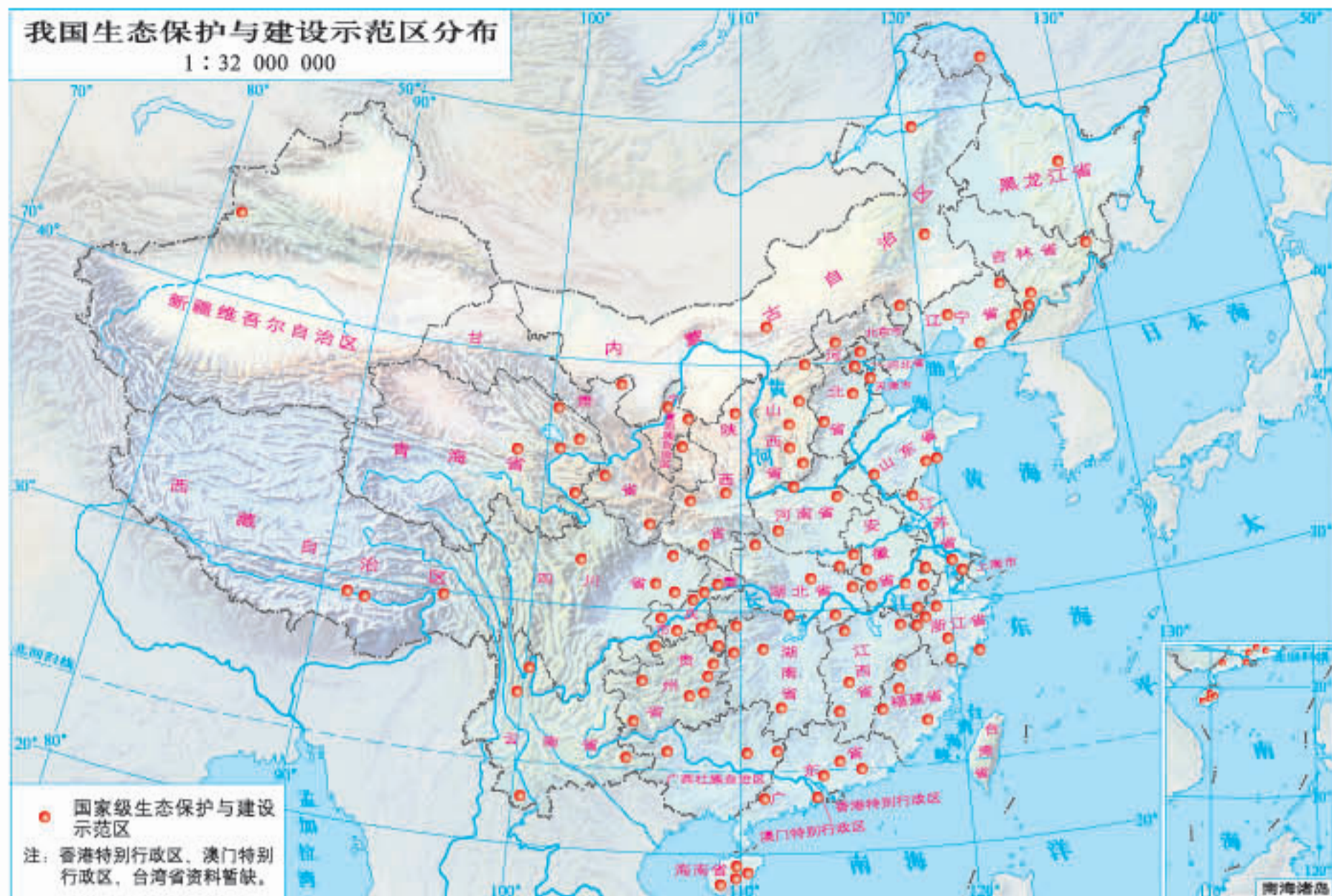


注：资料来源于2016年世界卫生组织（WHO）发布的报告——《空气污染：全球评估曝光和疾病负担》。

走可持续发展之路

实现人地协调的途径与联合国可持续发展目标



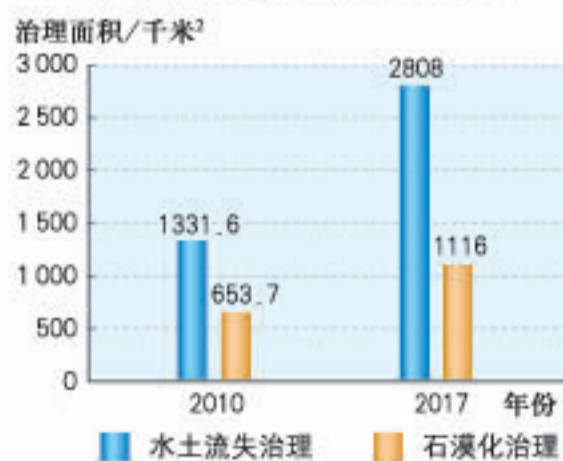


▲ 贵州位于长江和珠江两大水系上游交错地带，是两江上游和西南地区重要生态屏障。构建“两屏五带三区”的生态安全战略格局，旨在分区分重点加强生态环境保护，促进经济社会可持续发展。

2000—2017年贵州省森林覆盖率变化



2010—2017年贵州省水土流失和石漠化治理面积变化



普通高中教科书 **地理图册** **必修** 第二册 (配湘教版)

D I L I T U C E



绿色印刷产品

ISBN 978-7-5471-2610-3



9 787547 126103 >

定价：4.85 元

星球地图出版社